

Aristotle University of Thessaloniki
Group Project for the Game Theory Course
Group 01

Imitation and Fitness Dynamics on Iterated Prisoner's Dilemma

Ιωάννης Λαζαρίδης
10431
ilazarit@ece.auth.gr

Κωνσταντίνος Βλαχάκος
10403
kvlachak@ece.auth.gr

Ιωάννης Κοσμάς Βαρδάκης
10498
ivardakis@ece.auth.gr

May 2025



Contents

0	Εισαγωγή	2
1	Quickstart	5
2	Fitness Dynamics	6
2.1	Θεωρητική Ανάλυση του Fitness Dynamics	6
2.2	Προσομοίωση του Fitness Dynamics	15
2.2.1	Θεωρητική Ανάλυση του TourSimFit:	15
3	Imitation Dynamics	21
3.1	Θεωρητική ανάλυση του Imitation Dynamics:	21
3.2	Προσομοίωση του Imitation Dynamics	26
4	Discussion	29
	Appendices	30
	Appx. A:	
	Απόδειξη μεταξύ <code>s_states</code> , <code>r_states</code> από κ. Κεχαγιά	31
	Appx. B:	
	Code	32
	References	38

Κεφάλαιο 0

Εισαγωγή

Η παρούσα εργασία πραγματεύεται την υλοποίηση του εξελικτικού πρωταθλήματος *Axelrod*, το οποίο έχει ως θεωρητική βάση το επαναλαμβανόμενο δίλημμα του φυλακισμένου (Iterated Prisoner's Dilemma - IPD). Η εργασία αυτή αποτελεί το πέμπτο παραδοτέο στο πλαίσιο του μαθήματος της Θεωρίας Παιγνίων, και ακολουθεί προηγούμενες εργασίες στις οποίες έχουν υλοποιηθεί: (α) το περιβάλλον του παιχνιδιού, (β) οι βασικές στρατηγικές που χρησιμοποιούνται στα πειράματα. Για την καλύτερη κατανόηση, είναι σημαντικό να εξηγηθεί πρώτα τι είναι το δίλημμα του φυλακισμένου και το πρωτάθλημα Axelrod.

Το Δίλημμα του Φυλακισμένου

Το κλασικό δίλημμα του φυλακισμένου είναι ένα υποθετικό σενάριο συνεργασίας και προδοσίας μεταξύ δύο παικτών. Κάθε παίκτης έχει δύο επιλογές: να συνεργαστεί (**C**) ή να προδώσει (**D**). Οι αποδόσεις (**payoffs**) κάθε παίκτη εξαρτώνται από τον συνδυασμό των επιλογών τους και μπορούν να περιγραφούν με τέσσερις βασικές τιμές:

- **T (Temptation to Defect)** η ανταμοιβή που παίρνει κάποιος όταν προδίδει ενώ ο άλλος συνεργάζεται.
- **R (Reward for Mutual Cooperation)**: η ανταμοιβή που παίρνουν και οι δύο όταν συνεργάζονται.
- **P (Punishment for Mutual Defection)**: η τιμωρία που λαμβάνουν όταν και οι δύο προδίδουν.
- **S (Sucker's Payoff)**: η "ζημιά" που υφίσταται κάποιος όταν συνεργάζεται ενώ ο άλλος τον προδίδει

Ο πίνακας αποδόσεων (*payoff matrix*) έχει ως εξής:

		P2	
		C (Συνεργασία)	D (Προδοσία)
P1	C	R, R	S, T
	D	T, S	P, P

Table 1: Payoff Matrix

Οι τυπικές τιμές που χρησιμοποιούνται στο IPD είναι: $T = 5, R = 3, P = 1, S = 0$

Για να υπάρχει πραγματικό «δίλημμα», πρέπει να ισχύουν δύο βασικές **λογικές συνθήκες**:

1. **$S < P < R < T$**

Δηλαδή: είναι χειρότερο να σε προδώσουν ενώ συνεργάζεσαι (S), από το να προδώσετε και οι δύο (P), και προτιμότερο να συνεργαστείτε και οι δύο (R), αλλά ο μεγαλύτερος πειρασμός είναι να προδώσεις όταν ο άλλος συνεργάζεται (T).

2. **$S + T < 2R$**

Αυτή η επιπλέον συνθήκη εξασφαλίζει ότι η **συνεργασία είναι συλλογικά προτιμότερη** από την εναλλαγή μεταξύ προδοσίας και συνεργασίας. Δηλαδή, αν οι παίκτες εναλλάσσονται μεταξύ C και D , οι αποδόσεις είναι χειρότερες από τη σταθερή συνεργασία.

Το δίλημμα έγκειται στο γεγονός ότι, ενώ η **αμοιβαία συνεργασία** οδηγεί σε καλύτερη συνολική απόδοση και για τους δύο (R), η **προδοσία είναι η ατομικά καλύτερη επιλογή**, ανεξάρτητα από την κίνηση του άλλου. Αυτό συμβαίνει επειδή:

- Αν ο άλλος συνεργάσει, το να προδώσεις σου δίνει **$T > R$**
- Αν ο άλλος προδώσει, το να προδώσεις σου δίνει **$P > S$**

Έτσι, η προδοσία είναι **το μοναδικό σημείο ισορροπίας Nash** στο παίγνιο μίας φορές. Ωστόσο, όπως θα δούμε στη συνέχεια, όταν το παιχνίδι επαναλαμβάνεται, μπορούν να προκύψουν πολύ διαφορετικές δυναμικές.

Επαναλαμβανόμενο Δίλημμα του Φυλακισμένου (IPD)

Επαναλαμβανόμενο Δίλημμα του Φυλακισμένου (Iterated Prisoner's Dilemma)

Σε αντίθεση με το απλό παίγνιο που παίζεται μόνο μία φορά, **στο επαναλαμβανόμενο δίλημμα του φυλακισμένου**, οι δύο παίκτες παίζουν πολλές φορές μεταξύ τους, και μπορούν να βασίσουν την απόφασή τους για την επόμενη κίνηση στις προηγούμενες κινήσεις του αντιπάλου. Αυτό επιτρέπει την εμφάνιση πιο πολύπλοκων στρατηγικών, όπως η **Tit for Tat** (ξεκινά με συνεργασία και έπειτα αντιγράφει την προηγούμενη κίνηση του αντιπάλου), και δημιουργεί δυναμική αλληλεπίδρασης και «μνήμης».

Το Πρωτάθλημα Axelrod

Το **Πρωτάθλημα Axelrod** ήταν ένα διάσημο υπολογιστικό πείραμα που διεξήγαγε ο πολιτικός επιστήμονας **Robert Axelrod** τη δεκαετία του 1980. Ο Axelrod προσκάλεσε ερευνητές να υποβάλουν στρατηγικές για το επαναλαμβανόμενο δίλημμα του φυλακισμένου. Οι στρατηγικές αυτές διαγωνίστηκαν μεταξύ τους σε ένα τουρνουά όπου η κάθε στρατηγική έπαιζε επαναλαμβανόμενα παιχνίδια με όλες τις υπόλοιπες, συγκεντρώνοντας βαθμούς με βάση τα αποτελέσματα κάθε αναμέτρησης. Το τουρνουά του Axelrod ανέδειξε τη σημασία της συνεργασίας και της «τιμωρίας με μέτρο» ως αποτελεσματική στρατηγική. Χαρακτηριστικά, η απλή στρατηγική **Tit for Tat** αναδείχθηκε ως μία από τις πιο επιτυχημένες, αναδεικνύοντας τη δύναμη της αμοιβαιότητας στη σταθερή συνεργασία.

Σκοπός και Δομή της Παρούσας Εργασίας

Η εργασία επικεντρώνεται στην **εξελικτική εκδοχή** του τουρνουά, όπου οι στρατηγικές «επιβιώνουν» ή «αντικαθίστανται» ανάλογα με την απόδοσή τους. Αναλυτικότερα, η εργασία χωρίζεται σε δύο βασικές προσεγγίσεις

1. Imitation Dynamics

Σε αυτό το μοντέλο, σε κάθε γενιά ένας αριθμός παικτών αντικαθιστά τη στρατηγική του με εκείνη κάποιου άλλου που έχει καλύτερη απόδοση (Score). Ο πληθυσμός εξελίσσεται μιμούμενος τις καλύτερες στρατηγικές.

2. Fitness Dynamics:

Σε αυτή την προσέγγιση, η πιθανότητα να επιβιώσει ή να αναπαραχθεί μια στρατηγική εξαρτάται από το μέσο Score που συγκεντρώνει. Πρόκειται για πιο αναλυτική, συνεχής προσέγγιση εμπνευσμένη από τη βιολογική εξέλιξη.

Η βασική διαφορά μεταξύ των δύο μοντέλων έγκειται στον τρόπο που οι στρατηγικές διαδίδονται στον πληθυσμό:

- Στο **Fitness Dynamics**, η αλλαγή εξαρτάται από το **συνολικό αποτέλεσμα** κάθε στρατηγικής σε κάθε γενιά.
- Στο **Imitation Dynamics**, επικεντρωνόμαστε στους **καλύτερους παίκτες**, και οι αλλαγές είναι διακριτές και συμβαίνουν σε **συγκεκριμένο αριθμό** παικτών ανά γενιά.

Στη θεωρητική ανάλυση του Fitness Dynamics, επιβεβαιώνονται τα αποτελέσματα των [2] Mathieu et al., ενώ στο Imitation Dynamics γίνεται υλοποίηση της **αλυσίδας Markov** για όλες τις πιθανές κατανομές πληθυσμού, ανάλογα με το μέγεθος πληθυσμού και τη δυναμική μετάβασης.

Κεφάλαιο 1

Quickstart

Τα αρχεία μας βρίσκονται στο παρακάτω github repo : για την κλήση οποιουδήποτε πειράματος χρησιμοποιούμε το script `base.m` με την οποία ο χρήστης μπορεί να αναπαραγάγει τα πειράματα που έχουμε κάνει και εμείς. Σε γενικότερο πλαίσιο, ο κώδικάς μας αναπαραγάγει τα αποτελέσματα από το `paper[2]` αλλά και να κάνει πειράματα προσομοίωσης πάνω σε αυτό. Επιπλέον μπορεί να αναπαράξει τόσο αποτελέσματα θεωρητικής ανάλυσης, τόσο και αποτελέσματα Imitation, όπως αναλύσαμε στο μάθημα. Οι βασικές συναρτήσεις που υλοποιούν τους αλγόριθμους με τους οποίους γίνονται αυτές οι διαδικασίες είναι οι: `TourTheFit`, `TourTheFit2`, `TourSimFit`, `TourTheImi`, `TourTheImi2`, `TourSimImi`.

Για το repository δεν απαιτείται κάποια ειδική εγκατάσταση πέραν του απλού `git clone` καθώς όλα τα paths των scripts είναι relative. Σε περίπτωση απροοπτου προβλήματος μπορείτε να επικοινωνήσετε μαζί μας στα παραπάνω email.

Κεφάλαιο 2

Fitness Dynamics

2.1 Θεωρητική Ανάλυση του Fitness Dynamics

Σε αυτό το σημείο θα αναλύσουμε την `TourTheFit`.

Τα ορίσματα όπως ζητάει η εκφώνηση είναι το `B` ο πίνακας του παίγνιου, το `Strategies` που είναι διάνυσμα `strings` με τις στρατηγικές και συμπληρώνεται από το `Pop0` το οποίο είναι ο αρχικός πληθυσμός που παρευρίσκεται στο παιχνίδι. Το `T` ο αριθμός των γύρων και το `J` ο αριθμός των γενεών που θα τρέχει το πρωτάθλημα. Αρχικά λαμβάνουμε τον πίνακα `Re_matrix` (από τη συνάρτηση `Reward_str`) ο οποίος είναι ο πίνακας των `Scores` μετά από έναν συγκεκριμένο αριθμό γύρων.

Η συνάρτηση αυτή υλοποιεί ένα παιχνίδι Axel T γύρων και επιστρέφει τον πίνακα με τα `scores` μεταξύ των στρατηγικών. Στη συνέχεια, λαμβάνουμε στην μεταβλητή P το άθροισμα των πληθυσμών στις στρατηγικές που παίζουμε δηλαδή τον αρχικό συνολικό πληθυσμό και αρχικοποιούμε τις μεταβλητές επιστροφής.

Το `POP` επιστρέφει τις τιμές του πληθυσμού ανά γενιά, το `BST` τις βέλτιστες στρατηγικές ανα γενιά ενώ το `FIT` το `fitness` των στρατηγικών. Στη συνέχεια αναθέτουμε τον αρχικό πληθυσμό στην πρώτη θέση του array του `POP` και υπολογίζουμε το `fitness` της κάθε στρατηγικής δηλαδή το άθροισμα των `score` επί τον πληθυσμό με βάση τη συγκεκριμένη στρατηγική αφαιρώντας τις περιπτώσεις που οι στρατηγικές παίζουν με τον εαυτό τους όπως αναλύεται και στο `paper[2]`.

Στη συνέχεια υπολογίζονται οι συνολικοί πόντοι t που έχουν δοθεί σε όλες τις στρατηγικές και ψάχνουμε να βρούμε αυτές με το βέλτιστο `fitness` για την έξοδο του `BST`. Ο πληθυσμός ανανεώνεται με βάση τους τύπους του `paper[2]`:

$$\begin{aligned} W_{n+1}(A) &= \frac{\Pi W_n(A) g_n(A)}{t(n)} \\ W_{n+1}(B) &= \frac{\Pi W_n(B) g_n(B)}{t(n)} \\ W_{n+1}(C) &= \frac{\Pi W_n(C) g_n(C)}{t(n)} \end{aligned}$$

και το ερώτημα που γεννάται είναι κατά πόσο η ανάλυση αυτή είναι σωστή με την παραδοχή ότι δεν γίνεται στρογγυλοποίηση και το `POP` διάνυσμα περιέχει πραγματικές τιμές. Για τον σκοπό αυτό προσθέτουμε την προτροπή του `paper` σύμφωνα με το οποίο οι πληθυσμοί της επόμενης γενιάς υπολογίζονται από το `floor` της κάθε παράστασης. Εδώ πέρα γεννάται το ερώτημα εάν το συγκεκριμένο «επιπόλαιο» `rounding` κρατήσει ίδιο τον συνολικό πληθυσμό και με την πρώτη δοκιμή παρατηρούμε ότι δεν τον κρατάει. Συνεπώς πρέπει να αποφασίσουμε αν θα χρησιμοποιήσουμε τον ίδιο πληθυσμό με τον αρχικό ή κάθε φορά θα τον ξαναμετράμε για να συμπεριλάβουμε το σφάλμα του `rounding`. Ωστόσο στη δεύτερη περίπτωση παρατηρούμε το σφάλμα ανά γενιά να συσσωρεύεται οδηγώντας στην κατάρρευση του συστήματος. Συνεπώς η υλοποίηση η οποία ακολουθεί πιστά και το `paper` είναι να μετρήσουμε μια φορά τον συνολικό πληθυσμό και σε κάθε γενιά να

χρησιμοποιούμε αυτή τη σταθερή τιμή P κάνοντας floor rounding ακόμα και αν αυτό οδηγήσει στο τέλος σε μια μικρή απώλεια. Τα αποτελέσματα που παρήχθησαν μπορούν να φανούν παρακάτω:

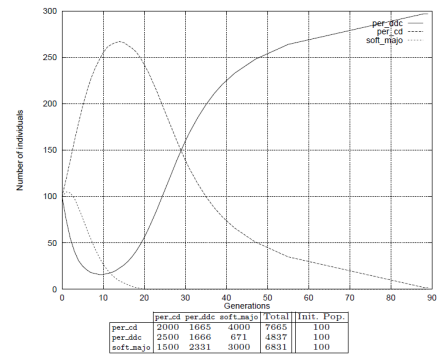
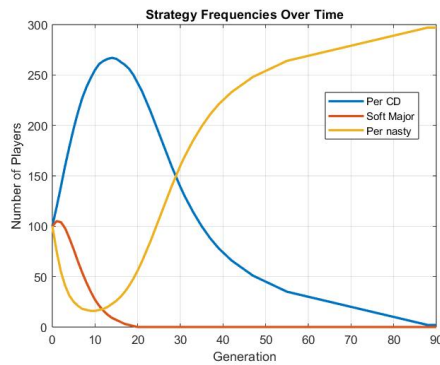


Figure 2.1: Defectors may be Strong (defectors_may_be_strong.m)

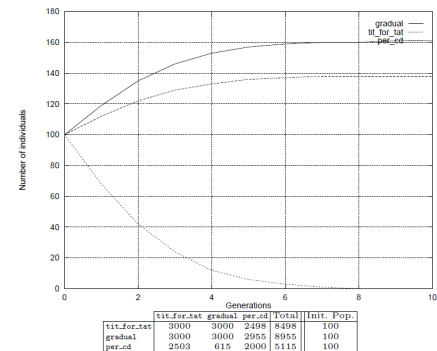
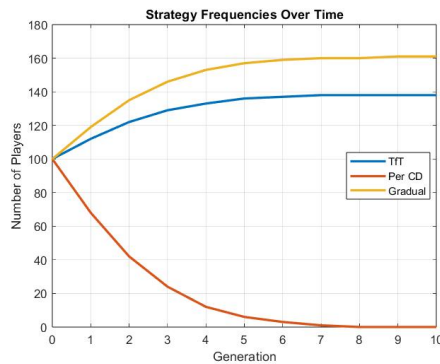


Figure 2.2: Monotonous Convergence (monotonous_convergence.m)

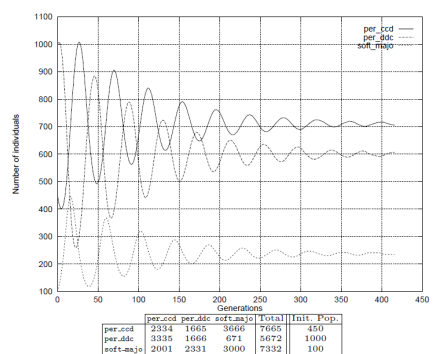
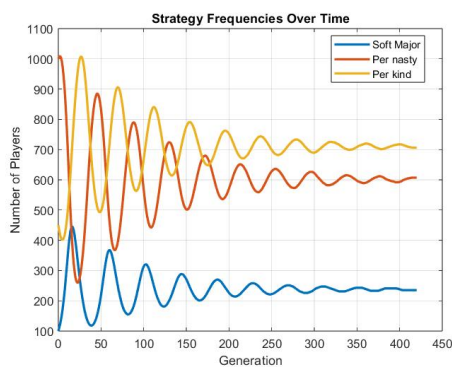


Figure 2.3: Attenuated_oscillatory_movements (attenuated_oscillatory_movements.m)

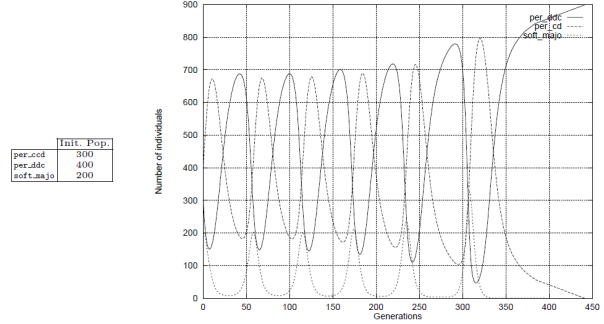
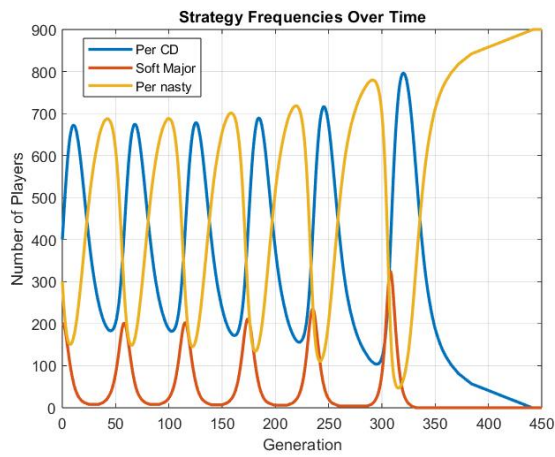


Figure 2.4: Increasing Oscillations (`increasing_oscillations.m`)

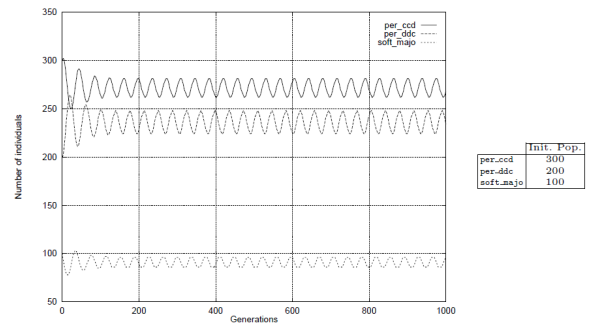
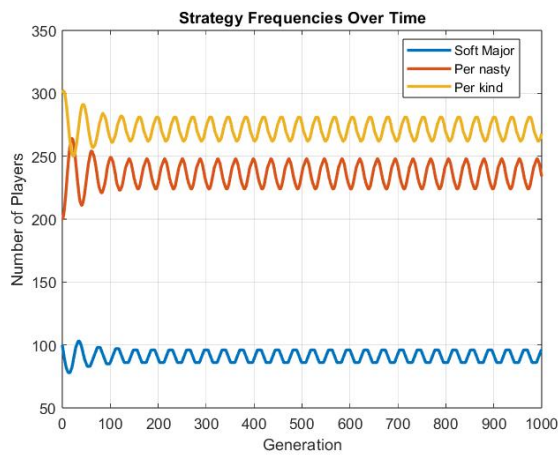


Figure 2.5: Periodic Movements (`periodic_movements.m`)

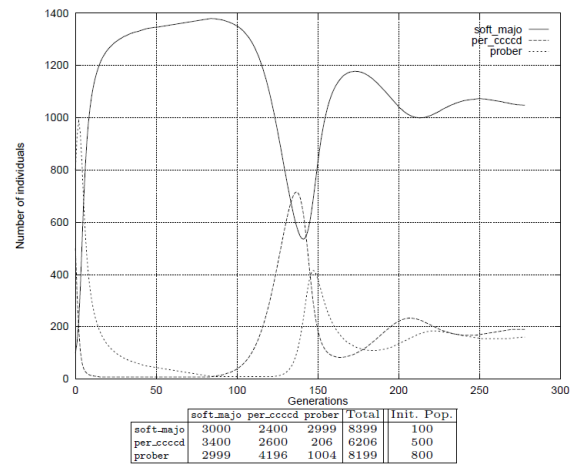
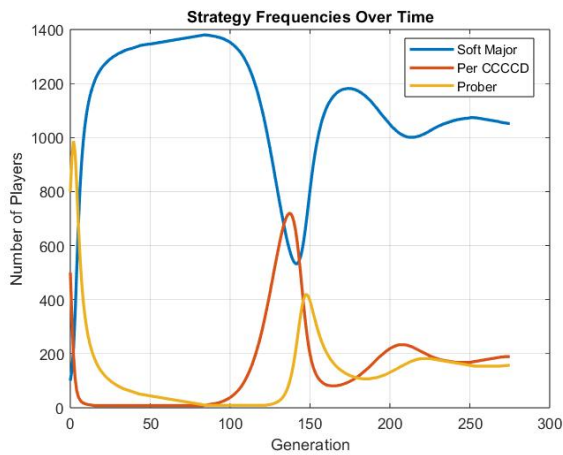


Figure 2.6: Disordered Oscillations (`Disordered Oscillations.m`)

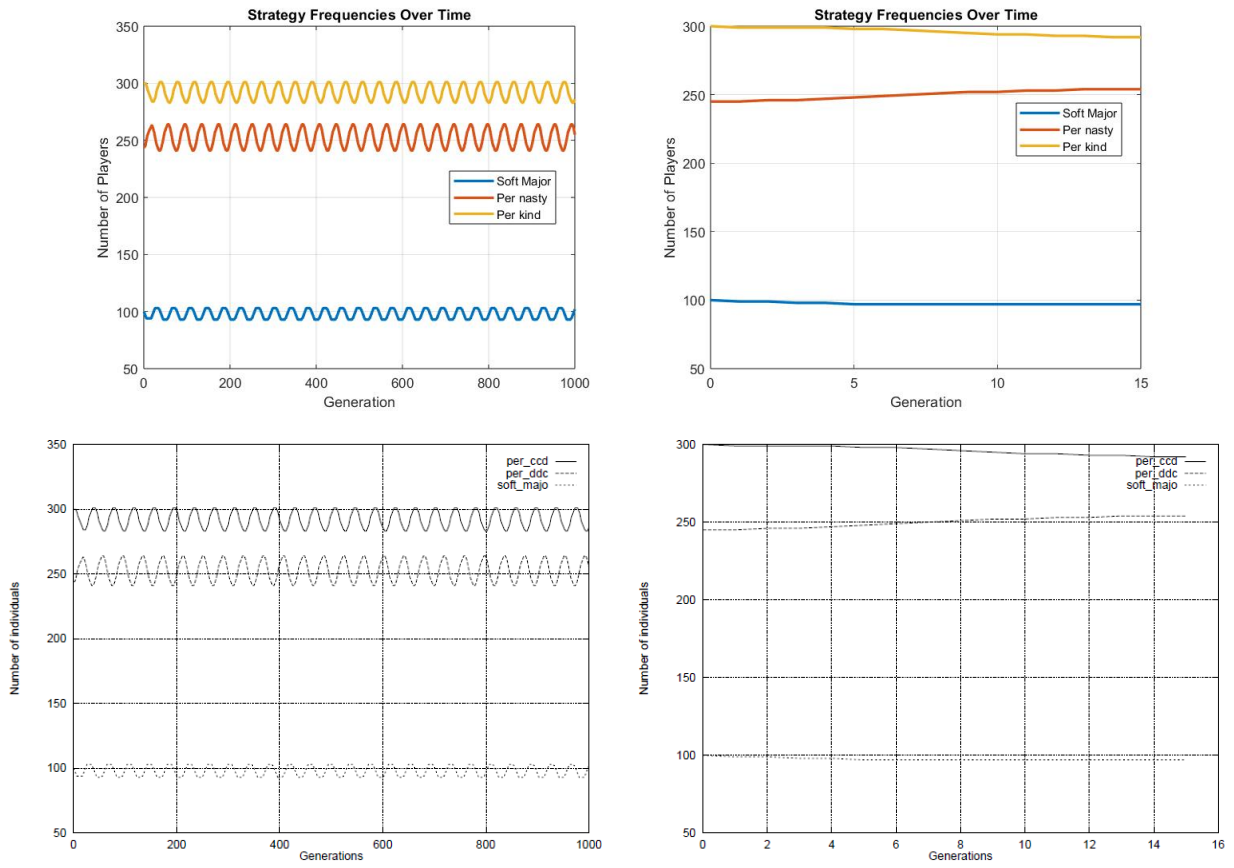


Figure 2.7: Sensitivity of dynamics to population's size. All parameters are identical except for the initial size of per ddc which is 244 on the left and 245 on the right (`sens_dyn_pop_size.m`)

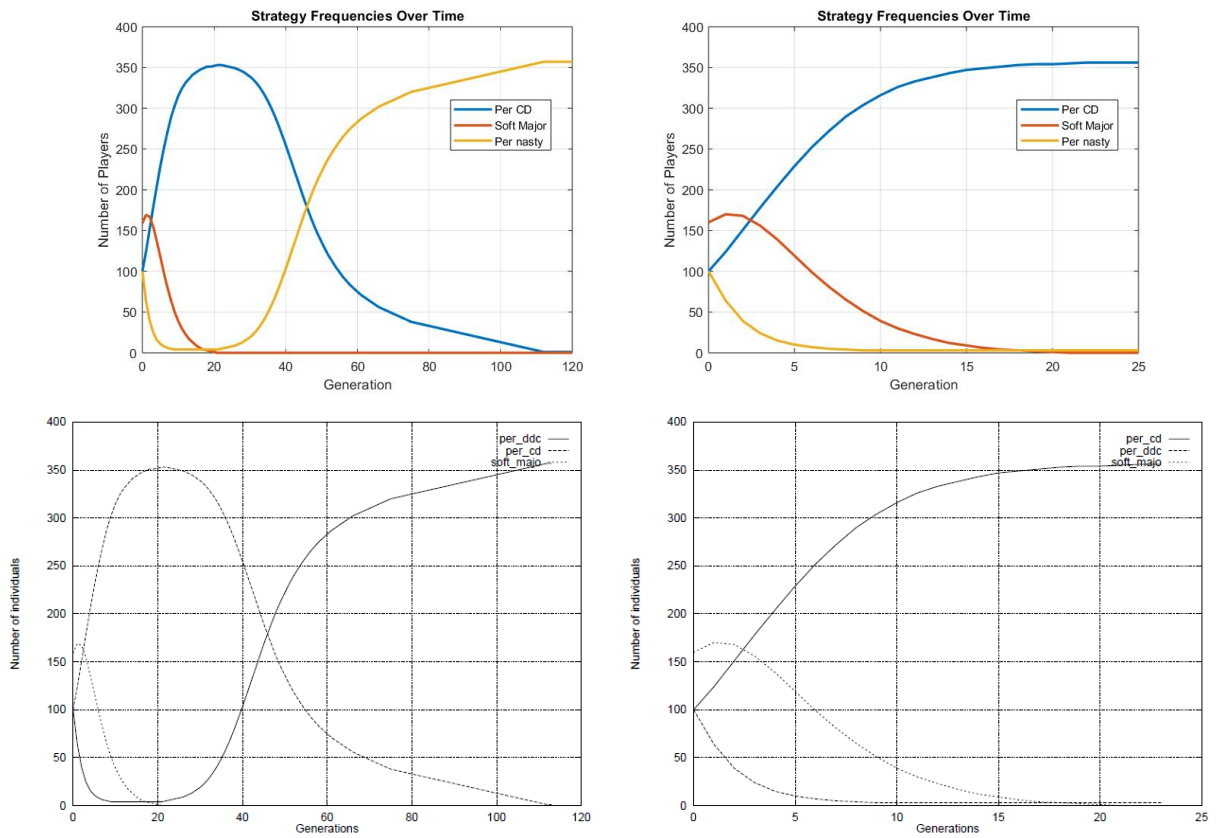


Figure 2.8: Sensitivity of winner to population's size. All parameters are identical except for the initial size of soft major which is 159 on the left and 160 on the right. (`sens_win_pop_size.m`)

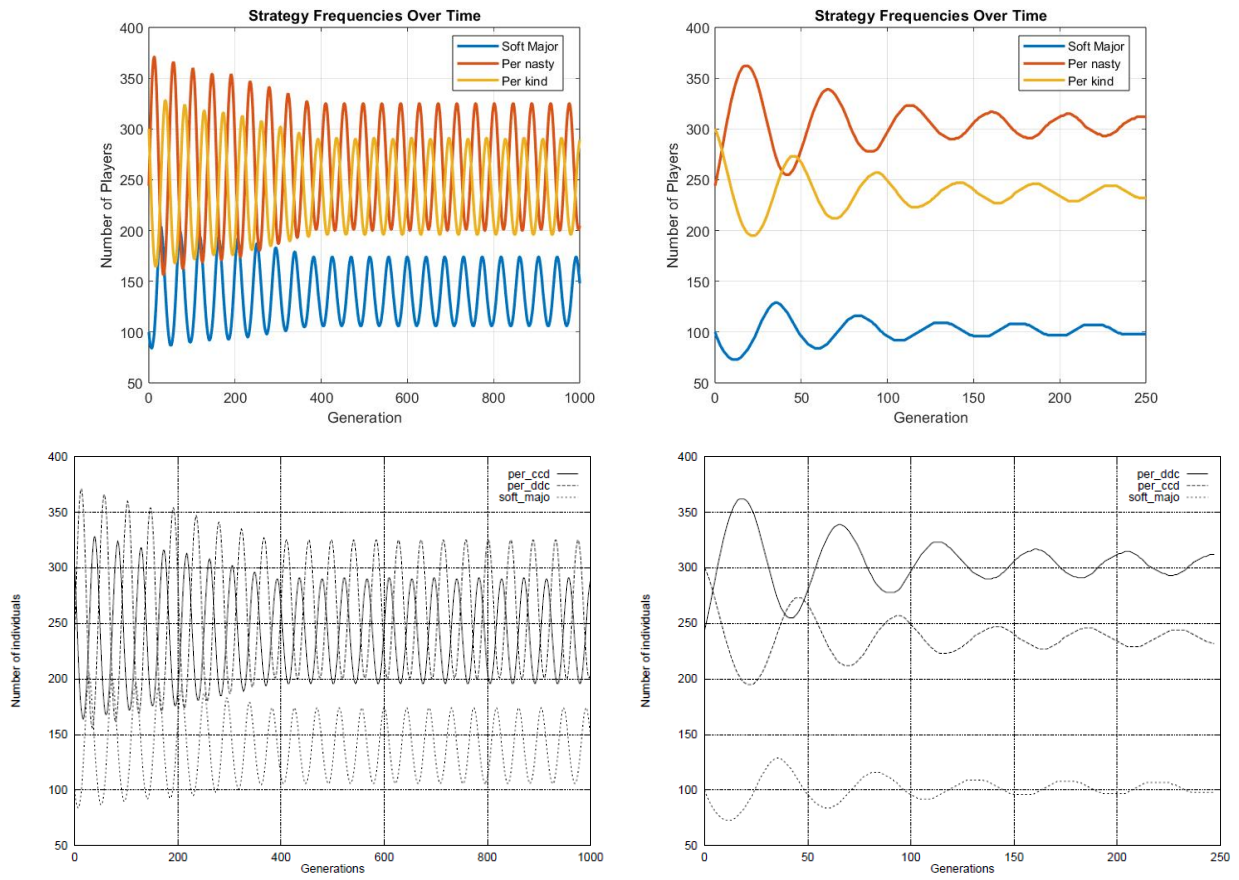


Figure 2.9: Sensitivity to game length. All parameters are identical except for the game length which is 7 moves on the left and 6 on the right (`sens_game_length.m`)

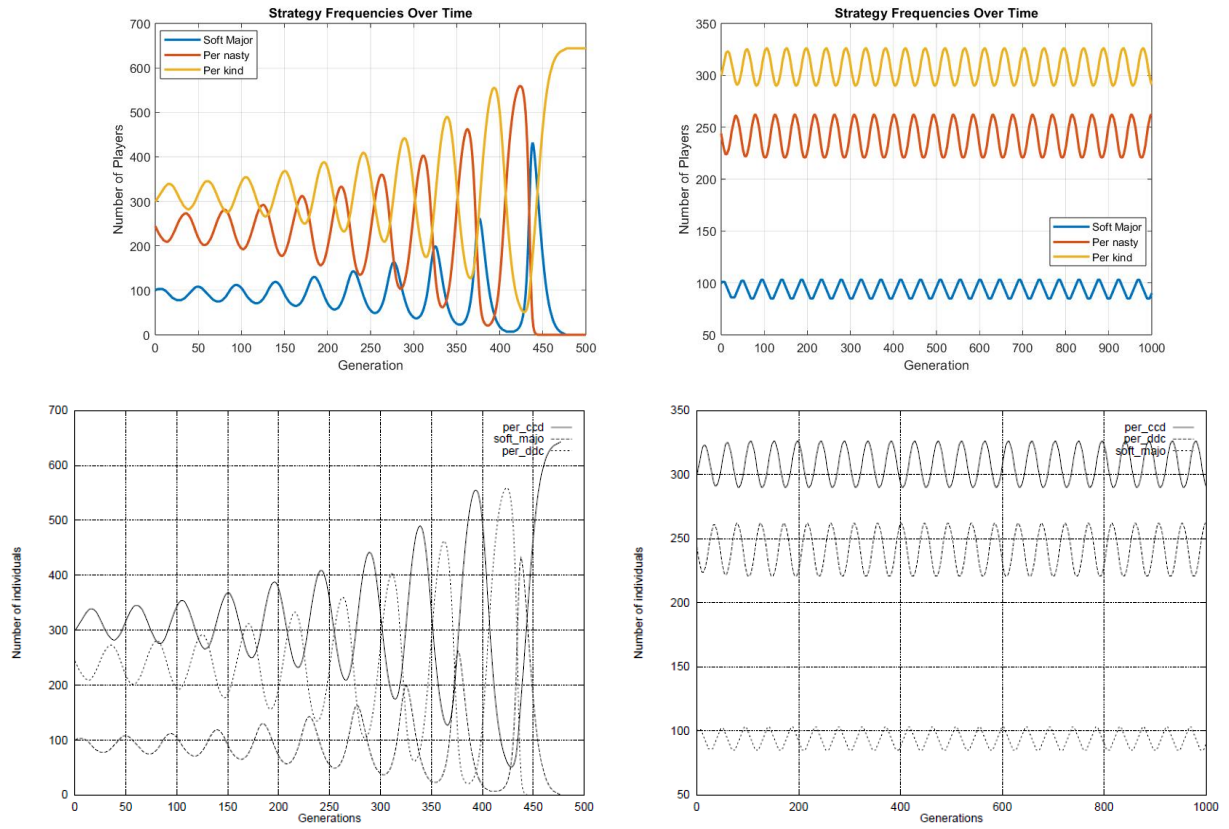


Figure 2.10: Sensitivity to CIPD payoff. All parameters are identical except that $T = 4.6$ on the left and $T = 4.7$ on the right. (`sens_cipd_payoff.m`)

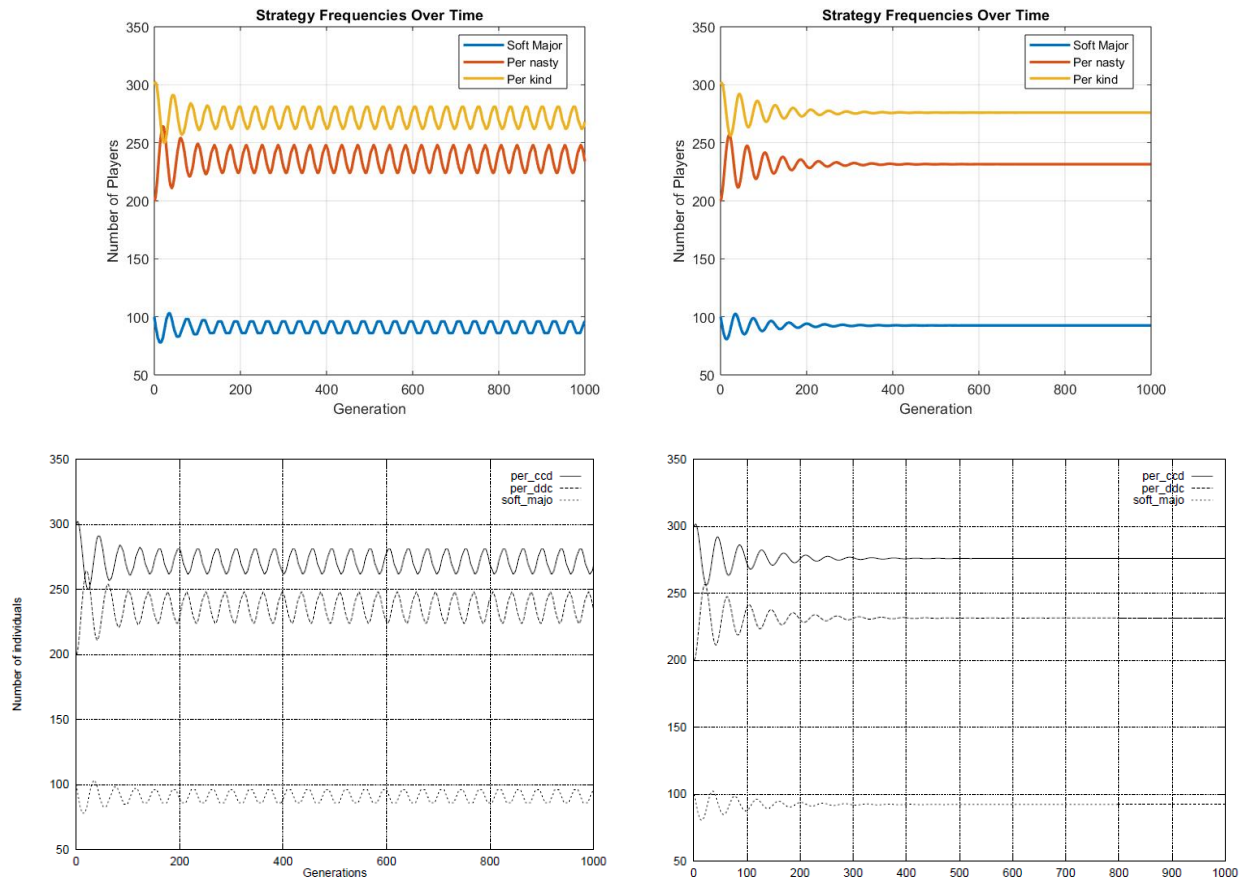


Figure 2.11: Sensitivity to repartition computation method. All parameters are identical except that repartition on the left is done by rounding and uses real value on the right. (`sens_repartition_real.m`)

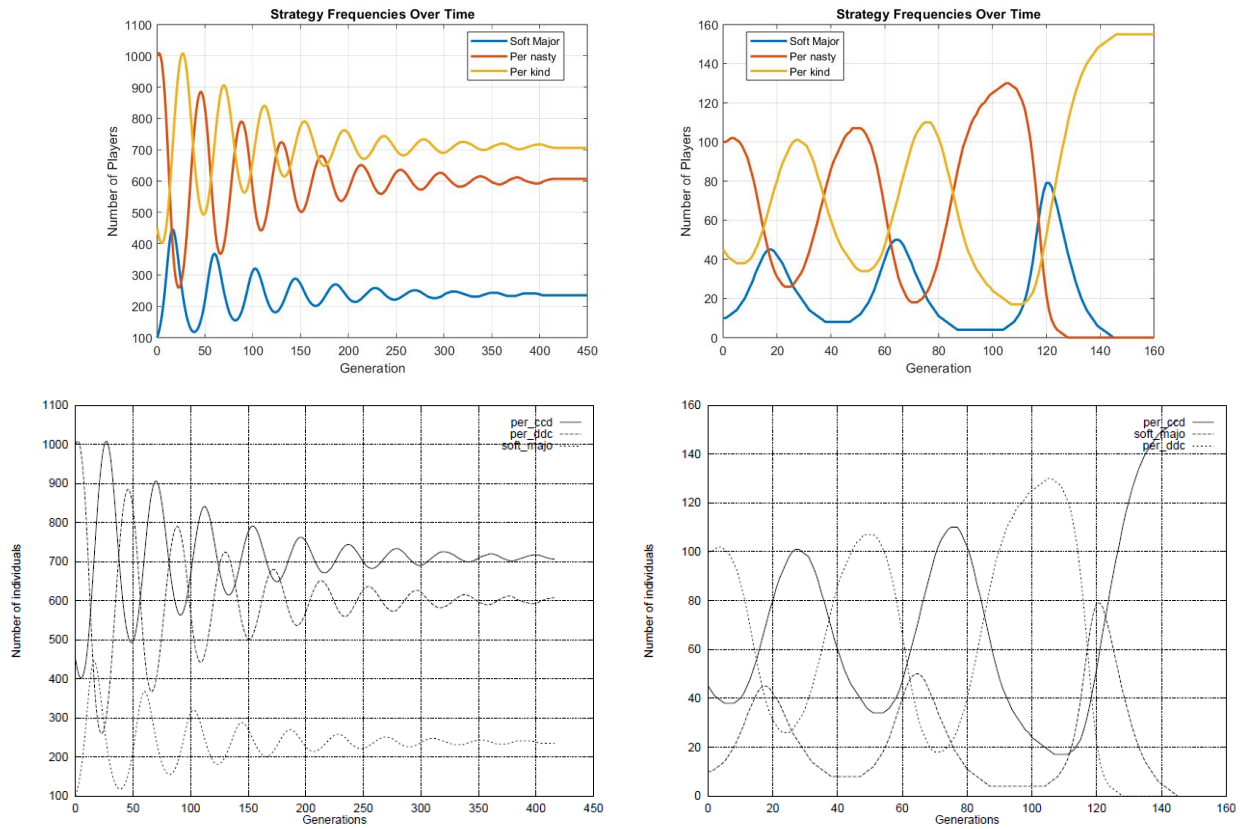


Figure 2.12: Sensitivity to repartition computation method. All parameters are identical except that populations on the right are divided by 10. (`sens_repartition_div10.m`)

Παρατηρούμε την επ' ακριβώς αντιστοίχιση με τα αποτελέσματα του paper ακόμα και σε επίπεδο debugging βλέποντας τους πίνακες των κερδών. Στη συνέχεια επιχειρήσαμε να δημιουργήσουμε αυτές τις καμπύλες τρέχοντας προσομοιώσεις όπου είχαμε να αποφασίσουμε μεταξύ της πλήρους ή της μερικής προσομοίωσης.

2.2 Προσομοίωση του Fitness Dynamics

Στη συνέχεια επιχειρήσαμε να δημιουργήσουμε αυτές τις καμπύλες τρέχοντας προσομοιώσεις όπου είχαμε να αποφασίσουμε μεταξύ της πλήρους ή της μερικής προσομοίωσης. Για τους σκοπούς αυτούς χρησιμοποιούμε τη συνάρτηση `TourSimFit` η οποία αναλύεται παρακάτω:

2.2.1 Θεωρητική Ανάλυση του `TourSimFit`:

Η συνάρτηση αυτή είναι παρόμοια με την `TourTheFit`. Η βασική διαφορά είναι ότι για να διατηρηθεί ο πληθυσμός με ακέραιες τιμές χρησιμοποιούμε την συνάρτηση `Close_int_v`

Η συνάρτηση αυτή ουσιαστικά μεταφέρει το περισσευούμενο fractional part στα στοιχεία με το χαμηλότερο fractional part.

Σημαντική διαφορά εδώ είναι ότι, για να έχουμε μεγαλύτερη ταχύτητα στο Simulation, εκτελούμε τον κώδικα χρησιμοποιώντας την συνάρτηση `Axel2_improved`.

Έτσι εκτελούμε μια μορφή half simulation (όχι καθαρή προσομοίωση).

Τρέχοντας ξανά τις παρακάτω προσομοιώσεις παρατηρούμε τα εξής για το κάθε ένα πείραμα.

Defectors may be strong

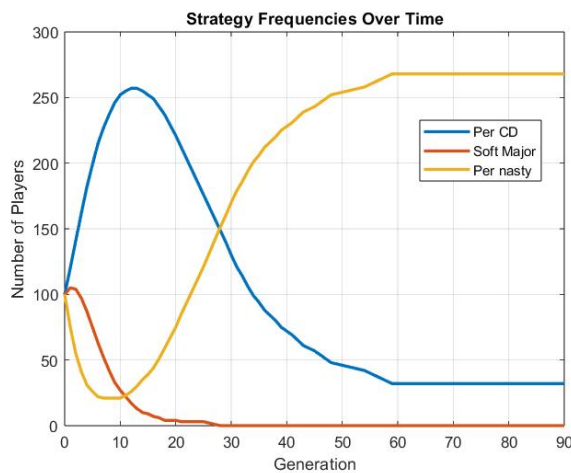


Figure 2.13: `defectors_may_be_strong_sim.m`

Παρατηρούμε παρόμοια συμπεριφορά με ίδιες γραφικές παραστάσεις με τη μόνη διαφορά η προσομοίωση να οδηγείται σε steady state μερικές γενιές νωρίτερα

Monotonous Convergence

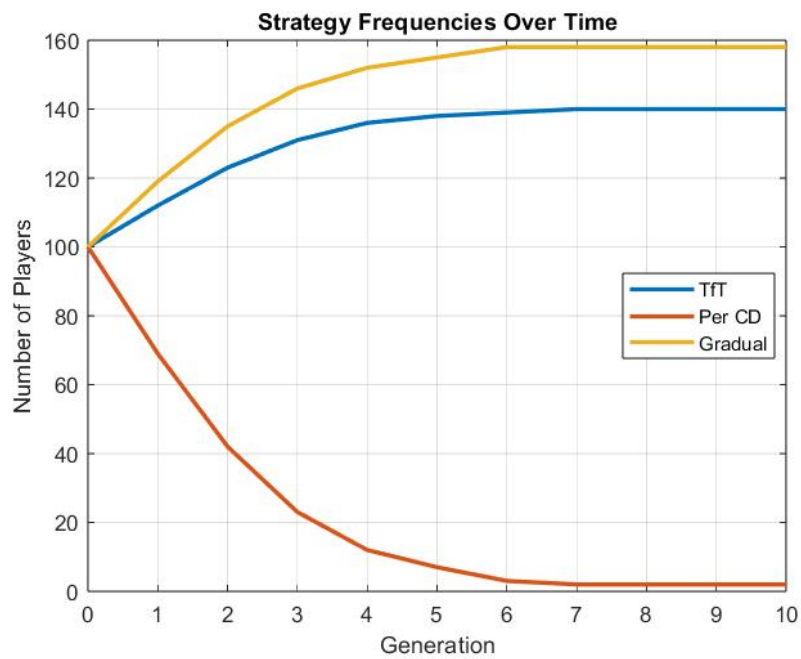


Figure 2.14: `monotonous_convergence_sim.m`

Παρατηρούμε και εδώ παρόμοια συμπεριφορά με ίδιες γραφικές παραστάσεις και ελαφρά αλλαγμένους τους πληθυσμούς του steady state.

Attenuated Oscillations

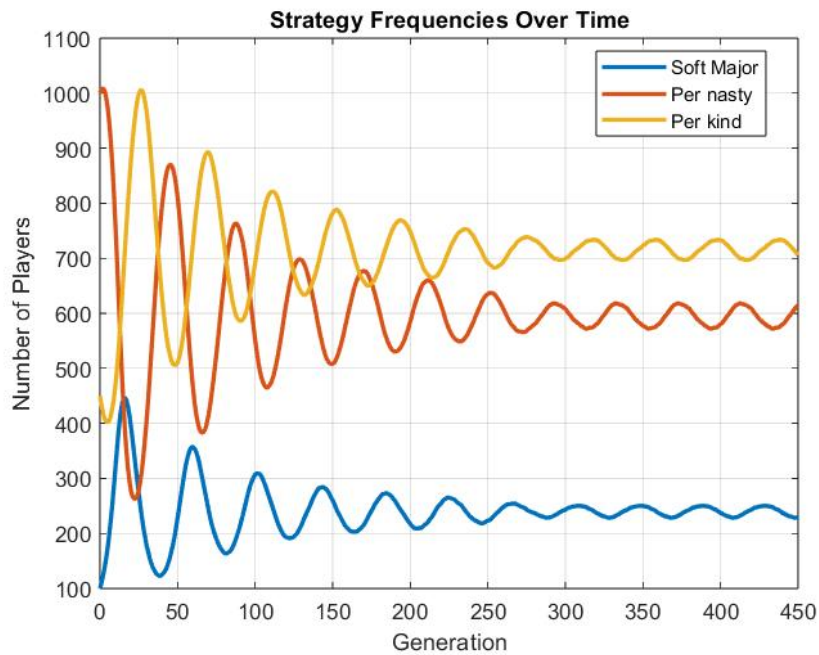


Figure 2.15: `attenuated_oscillatory_movements_sim.m`

Παρατηρούμε παρόμοια συμπεριφορά με ίδιες γραφικές παραστάσεις με το simulation να έχει μικρότερο βαθμό απόσβεσης.

Periodic Movements

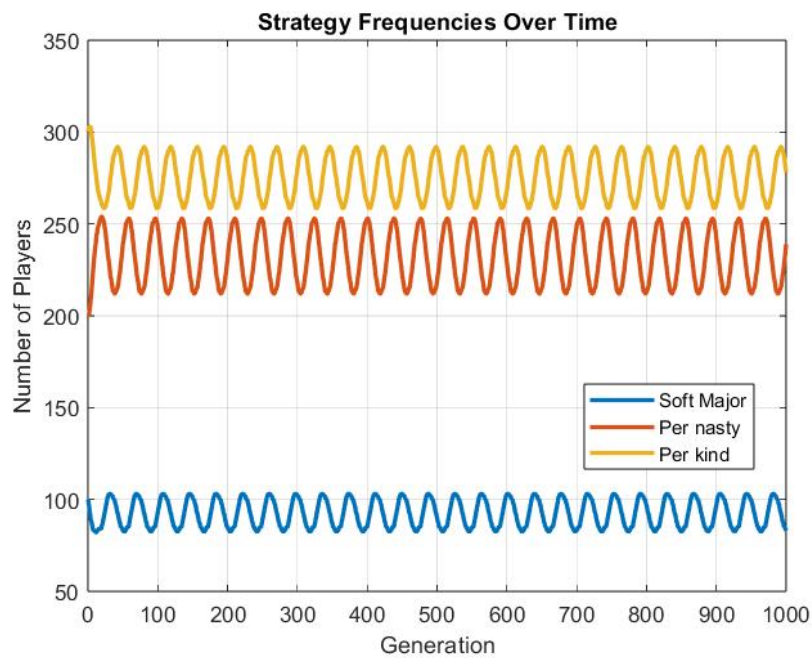


Figure 2.16: `periodic_movements_sim.m`

Παρατηρούμε παρόμοια συμπεριφορά με τη θεωρητική ανάλυση

Increasing Oscillations

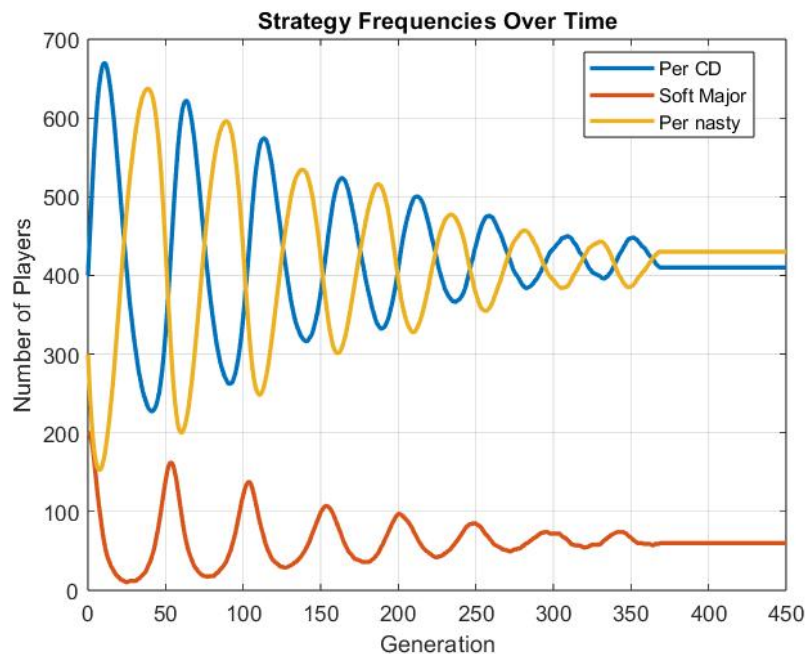


Figure 2.17: `increasing_oscillations_sim.m`

Παρατηρούμε σημαντική διαφορά καθώς στην περίπτωση της προσομοίωσης δε συμβαίνουν αυξανόμενες ταλαντώσεις. Αυτό οφείλεται στον τρόπο που γίνεται το rounding στην προσομοίωση και εμφανίζεται και σε επόμενα πειράματα πολλές φορές χαλώντας και την κατάταξη των στρατηγικών. Στο συγκεκριμένο αν και οι ταλαντώσεις είναι μειούμενες η κατάταξη διατηρείται.

Disordered Oscillations

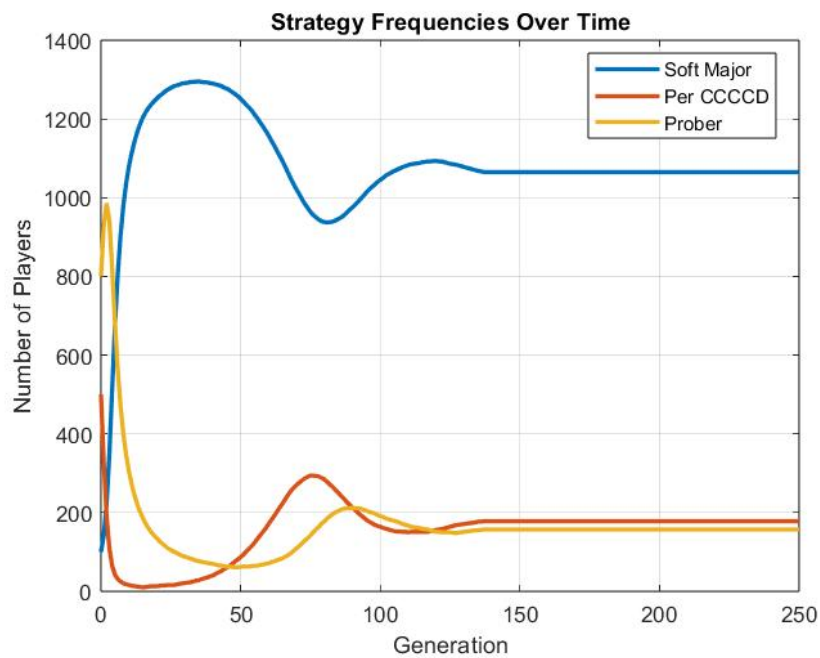


Figure 2.18: `disordered_oscillations_sim.m`

Παρατηρούμε παρόμοια συμπεριφορά με τη θεωρητική ανάλυση, ωστόσο οι μεταβολές είναι μικρότερες και καταλήγει σε λιγότερες γενιές σε steady state.

Sensitivity of dynamics to population size

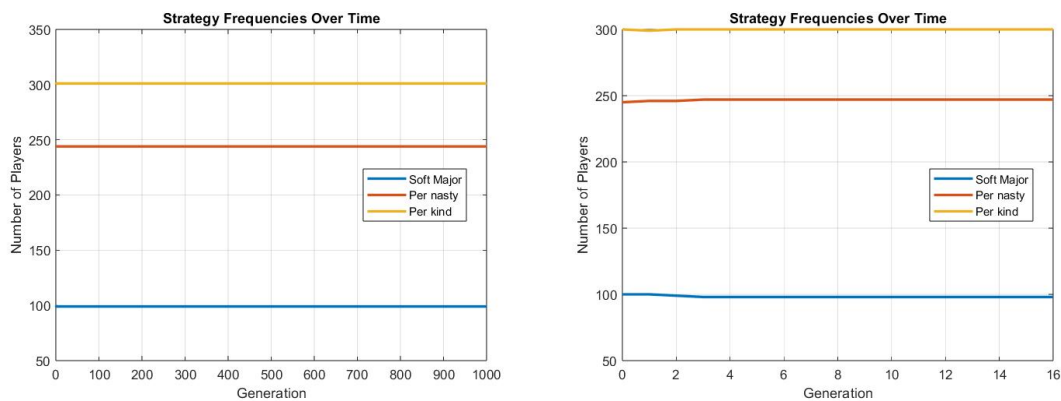


Figure 2.19: `sens_dyn_pop_size_sim.m`

Παρατηρούμε ότι οι αρχικές συνθήκες που στην θεωρητική ανάλυση προκαλούν περιοδικές ταλαντώσεις στην προσομοίωση αποτελούν ήδη steady state.

Sensitivity of dynamics to winner

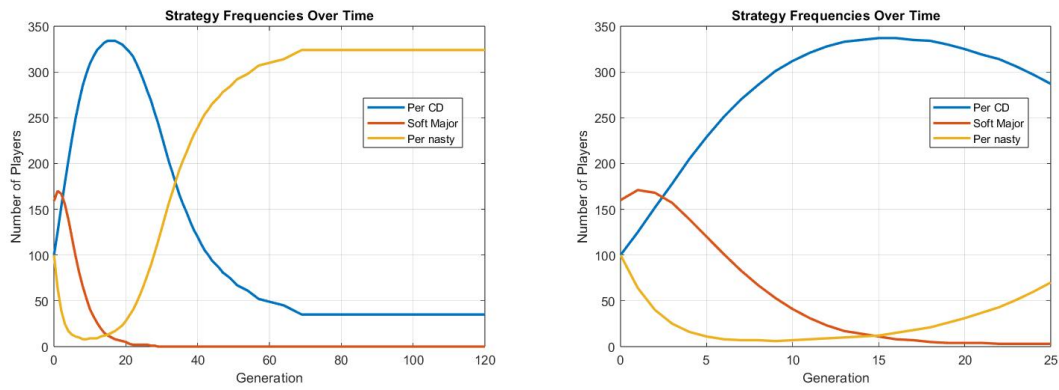


Figure 2.20: sens_win_pop_size_sim.m

Παρατηρούμε παρόμοια συμπεριφορά με τη θεωρητική ανάλυση

Sensitivity to CIPD Payoff

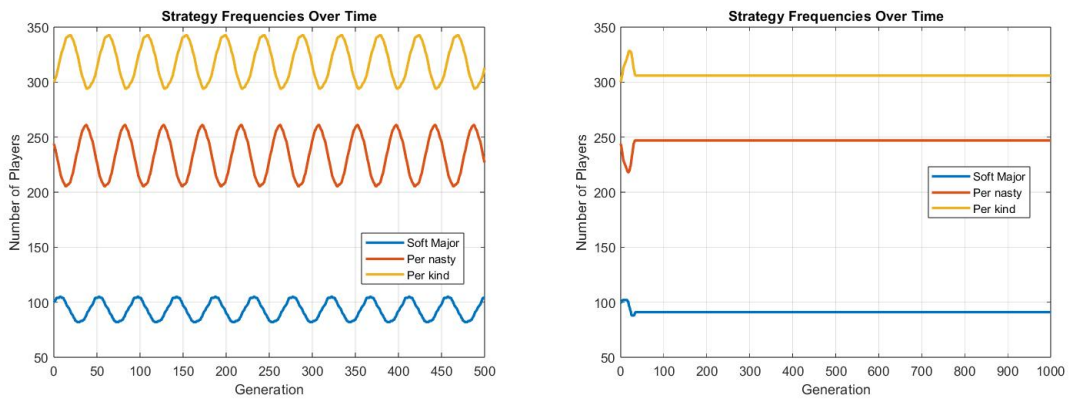


Figure 2.21: sens_cipd_payoff_sim.m

Παρατηρούμε στη θεωρητική ανάλυση ότι με τις τιμές αυτές του πίνακα των σκορ έχουμε αυξανόμενες ταλαντώσεις και περιοδικές ταλαντώσεις ενώ στην προσομοίωση αντίστοιχα περιοδικές ταλαντώσεις και ένα σύντομο μεταβατικό φαινόμενο που οδηγεί σε steady state.

Sensitivity to Game Length

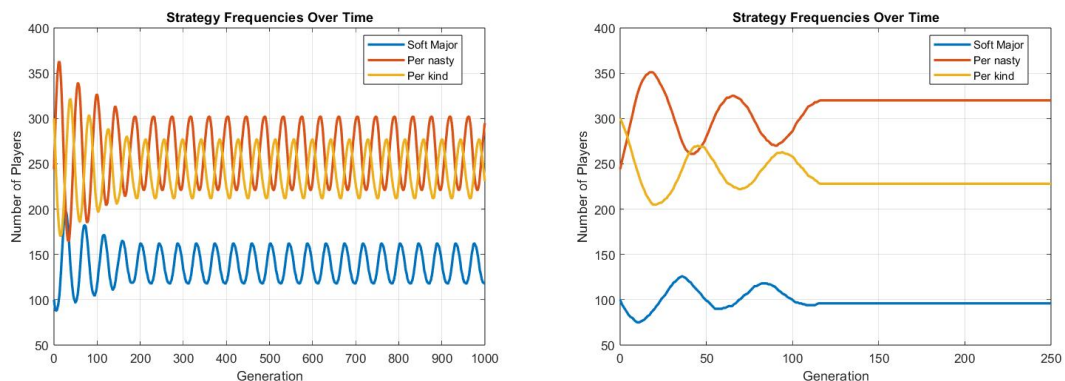


Figure 2.22: sens_game_length_sim.m

Παρατηρούμε παρόμοια συμπεριφορά με τη θεωρητική ανάλυση

Repartition divided by 10

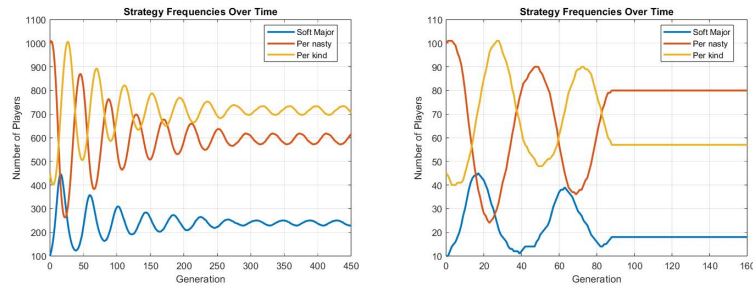


Figure 2.23: `sens_repartition_div10_sim.m`

Παρατηρούμε πως ενώ στη θεωρητική ανάλυση είχαμε μειούμενες και αυξανόμενες ταλαντώσεις στην προσομοίωση έχουμε και στις δύο περιπτώσεις μειούμενες ταλαντώσεις οι οποίες όμως στην περίπτωση της διαίρεσης με το 10 των πληθυσμών ανατρέπουν και την κατάταξη των στρατηγιών.

Κεφάλαιο 3

Imitation Dynamics

3.1 Θεωρητική ανάλυση του Imitation Dynamics:

Σε αυτό το σημείο θα αναλύσουμε τη θεωρητική ανάλυση του Imitation Dynamics. Αυτό περιλαμβάνει την δημιουργία ενός πίνακα μεταβάσεων μιας αλυσίδας Markov. Παρακάτω θα αναλύσουμε πως λειτουργεί αυτή η μέθοδος παραγωγής του πίνακα μεταβάσεων.

Παρακάτω ο κώδικας της συνάρτησης `TourTheImi`:

Παμε να δούμε αναλυτικά γραμμή προς γραμμή:

Αρχικά καλούμε την συνάρτηση `all_combinations_sum_m`, η οποία δίνει όλες τις πιθανές καταστάσεις της διαδικασίας Markov, της οποίας τον πίνακα μεταβάσεων αναζητούμε .

Η συνάρτηση ακολουθεί την λογική του *stars and bars problem* για να υπολογίσει όλους τους πιθανούς συνδυασμούς θετικών αριθμών που αθροίζουν στον πληθυσμο που έχουμε βάλει σαν όρισμα.

Προχωρώντας στις επόμενες γραμμές: Αρχικοποιούμε τον πίνακα μεταβάσεων και ξεκινάμε μια `for loop` για κάθε γραμμή του πίνακα, (δηλαδή για κάθε συνδυασμό των `combs`).

Εντός της λούπας: Υπολογίζουμε τα `scores` για κάθε στρατηγική με την συνάρτηση `Axel2_improved`.

Η βελτιωμένη αυτή εκδοση αξιοποιεί την ανάλυση από το `TourTheFit` για να υπολογίσει με μεγαλύτερη ταχύτητα τα `Scores` για κάθε στρατηγική.

Επειτα , με την συνάρτηση `find_best_inf_str` βρίσκω τις στρατηγικές (μια ή περισσότερες) που είναι βέλτιστες. Επιπλέον υπολογίζει και τις υποβελτιστες στρατηγικές(θα μας χρησιμεύσουν μετα).

Προχωρώντας, χρησιμοποιώντας την `Assign_str` , την οποία έχουμε υλοποιήσει για το πρωτάθλημα `Axelrod` της 1ης εργασίας, μετατρέπουμε την μορφή:

$$X(t_i) = (x_1(t_i), x_2(t_i), \dots, x_m(t_i)) \rightarrow Y(t_i) = \underbrace{\text{str}_1, \dots, \text{str}_1}_{x_1(t_i) \text{ times}}, \underbrace{\text{str}_2, \dots, \text{str}_2}_{x_2(t_i) \text{ times}}, \dots, \underbrace{\text{str}_m, \dots, \text{str}_m}_{x_m(t_i) \text{ times}}$$

Η μορφή αυτή εξυπηρετεί τους εξής σκοπούς:

- Είναι ευκολότερη η εύρεση πιθανών μεταβολών παιχτών
- Δεν μας ενδιαφέρει η διάταξη των στοιχείων. Όπως είχαμε αναφέρει στο μάθημα, η διαδικασία markov για τις καταστάσεις Y (ας τις ονομάσουμε `r_states` έναντι των `s_states`) είναι lumpable

σε σχέση με τα `s_states` ¹ Αυτό σημαίνει ότι το άθροισμα των πιθανοτήτων μεταβολών ενός συγκεκριμένου `group r_states` που αναπαριστούν ένα συγκεκριμένο `s_state` είναι σταθερό από οποιαδήποτε άλλη κατάσταση ενός συγκεκριμένου `s_state` και να προερχόμαστε.

Παρακάτω, εφόσον έχουμε τώρα το `r_state`, υπολογίζουμε τα `indexes` που αντιστοιχούν σε βέλτιστες και υποβέλτιστες στρατηγικές. Εδώ κάνουμε και μια παραδοχή για να μπορέσει ο μηχανισμός μας να αντιμετωπίσει ειδικές περιπτώσεις: Εφόσον ο αριθμός υποβέλτιστων παιχτών είναι μικρότερος από K , τότε σαν υποψήφιοι παίκτες προς αλλαγή στρατηγικής συμπεριλαμβάνονται και οι βελτιστοί παίκτες (δηλαδή όλοι οι παίκτες είναι υποψήφιοι για αλλαγή στρατηγικής, ανεξαρτήτως αν έχουν ήδη βέλτιστη στρατηγική).

Εφόσον έχουμε βρει τα `indexes`, αναπαράγουμε όλους τους πιθανούς συνδυασμούς `indexes` από το `idx_r` μήκους K και όλους τους πιθανούς συνδυασμούς βέλτιστων στρατηγικών που μπορούν να μεταβληθούν οι K παίκτες. Για το 2ο έχουμε υλοποιήσει μια συνάρτηση για να βρεί όλους τους πιθανούς συνδυασμούς με επανατοποθέτηση.

Η συνάρτηση αυτή μάλλον χρήζει βελτίωσης, αφού στην συγκεκριμένη μορφή της είναι αναδρομική.

Σε αυτό το σημείο ξεκινάνε οι υπολογισμοί στοιχείων του πίνακα μεταβάσεων. Ορίζουμε με την βοήθεια ενός cell array όλες τις πιθανές μεταβάσεις (σε μορφή `r_state`) από την παρούσα κατάσταση. Επειτα βρίσκω σε ποίο `s_state` αντιστοιχεί το κάθε `r_state` και στο αντίστοιχο στοιχείο $s \rightarrow s'$ προσθέτω $\frac{1}{p}$, όπου p ο πιθανός αριθμός των μεταβάσεων `r_states`.

Θα δοκιμάσουμε μερικά παραδείγματα με την συνάρτηση αυτή. (`TourTheImi`)

Η συνάρτηση έχει αρκετά γρήγορη ταχύτητα ακόμα και για μεγάλο πληθυσμό ή μήκος στρατηγικών. Θα δοκιμάσουμε ένα παράδειγμα με 5 παίκτες `Per_CD`, 5 παίκτες `Soft_Major` και 5 παίκτες `Per_Nasty`.

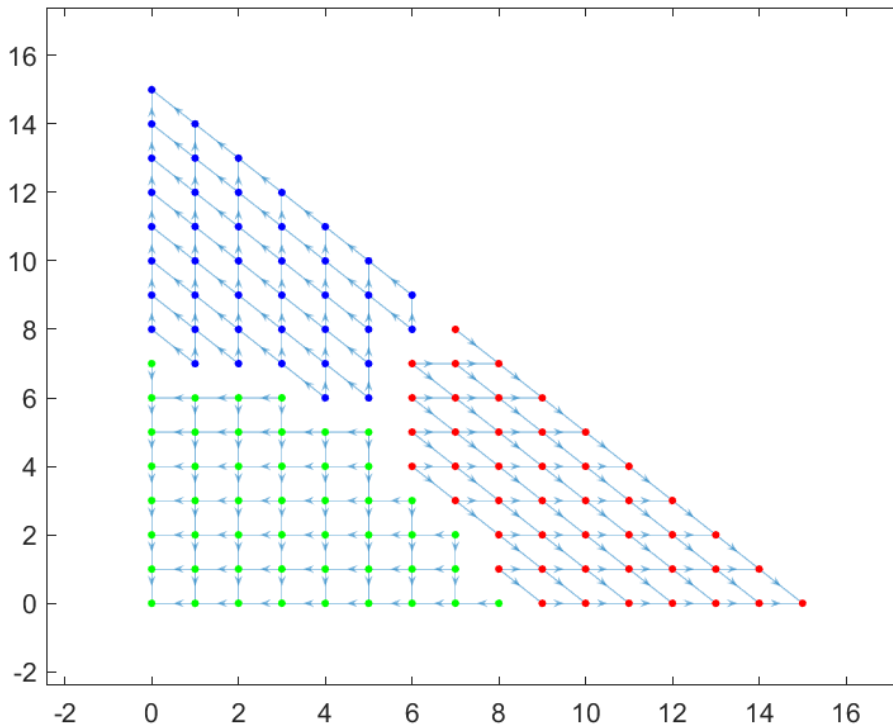


Figure 3.1: `TourTheImi` Ex. 1 `TourTheImi_Ex1.m`

Βλέπουμε ότι ο γράφος χωρίζεται σε ξεχωριστά groups ανάλογα με την σύγκλιση τους. Φαίνεται πως υπάρχει μια 1 προς 1 σχέση μεταξύ της αρχικής και τελικής κατάστασης (μπορούμε να γνωρίζουμε

¹βλέπε στο Appendix για λεπτομέρειες

σίγουρα που θα καταλήξει μια κατάσταση από την αρχική κατάσταση και μόνο)
Έπειτα κάνουμε ένα πείραμα με 5 TfT, 5 Per_CD, 5 Gradual

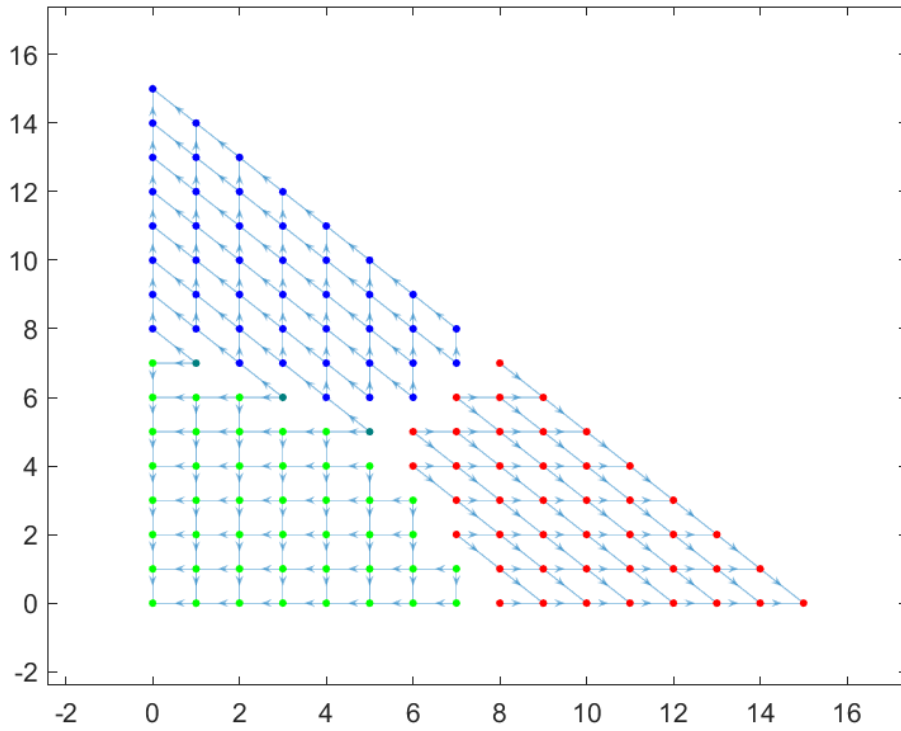


Figure 3.2: TourTheImi Ex. 2 TourTheImi_Ex2.m

Εδώ βλέπουμε ότι, παρόλο που ο γράφος πάλι χωρίζεται σε groups, υπάρχει μια επικοινωνία μεταξύ των 2 από τα 3 groups. Συγκεκριμένα, οι καταστάσεις $[7, 1, 7]$, $[6, 3, 6]$ και $[5, 5, 5]$ έχουν πιθανότητα να οδηγηθεί τόσο στην κατάσταση $[15, 0, 0]$ όσο και στην κατάσταση $[0, 0, 15]$. Αυτό λογικά συμβαίνει καθώς οι στρατηγικές Tit_for_Tat και Gradual έχουν ίδιο συνολικό score και στις 3 αυτές καταστάσεις.

Το επόμενο πείραμα αποτελείται από 3 Soft_major, 2 Per_Nasty, 1 Per_kind.

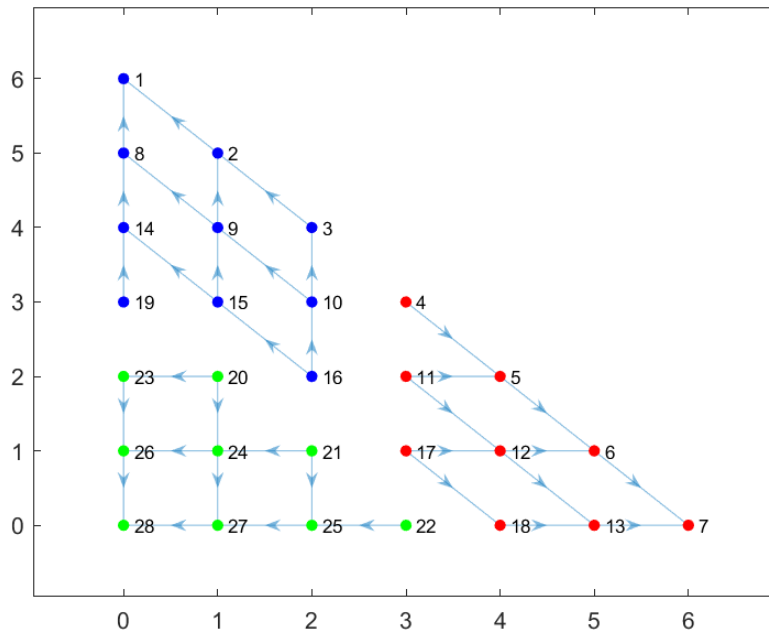


Figure 3.3: TourTheImi Ex. 3 TourTheImi_Ex3.m

Για την συνάρτηση TourTheimi δημιουργήσαμε μια δεύτερη παραλλαγή TourTheImi2 με τον εξής

συλλογισμό: Το Score ενός πληθυσμού δεν θα έπρεπε να κρίνεται από τον αριθμό που τον εκπροσωπεί αλλά από την απόδοση ενός παίκτη.

Η μεγάλη διαφορά της `TourTheimi2` είναι ότι χρησιμοποιεί μια νέα συνάρτηση (`Axel2_Improved_2`) για τον υπολογισμό του Score ανα στρατηγική, η οποία λαμβάνει υπόψη το Score μόνο ενός παίκτη.

Παμε να εξετάσουμε τα ίδια παραδείγματα με πάνω με την νέα συνάρτηση.

Δοκιμάζουμε με 5 `per_CD`, 5 `soft_major`, 5 `per_nasty`.

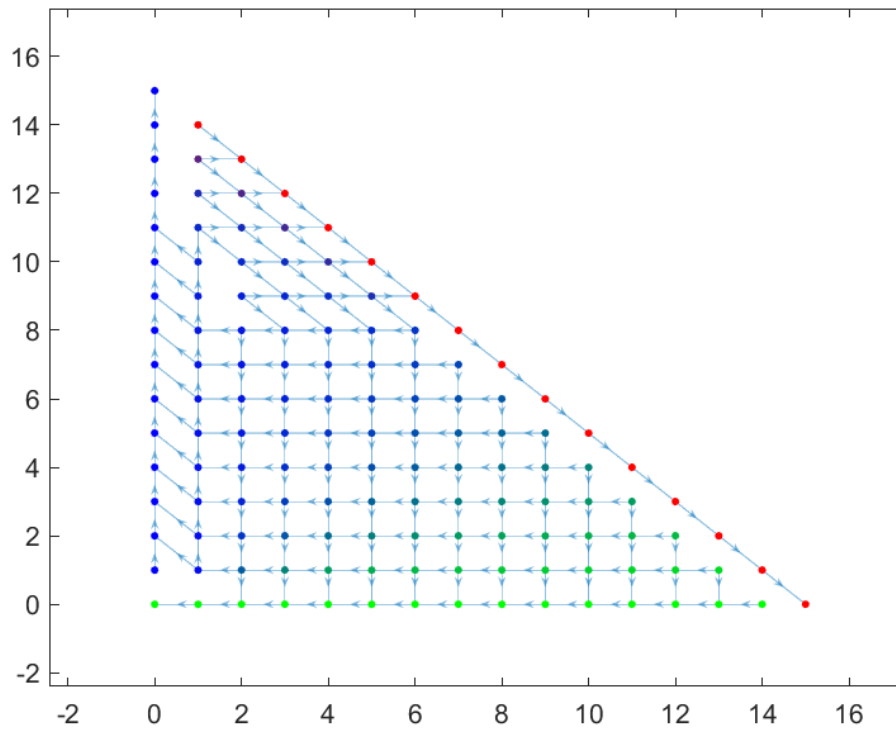


Figure 3.4: `TourTheImi Ex1_2` `TourTheImi_Ex1_2.m`

Παρατηρούμε ότι το `TourTheImi2` έχει μεγάλη διαφοροποίηση. Εδώ βλέπουμε ότι ο γράφος δεν χωρίζεται τόσο αισθητά σε Groups. Αυτό μας δείχνει πως υπάρχουν ισοδύναμες στρατηγικές στο συγκεκριμένο παράδειγμα.

Έπειτα έχουμε 5 TfT, 5 Per_CD, 5 Gradual.

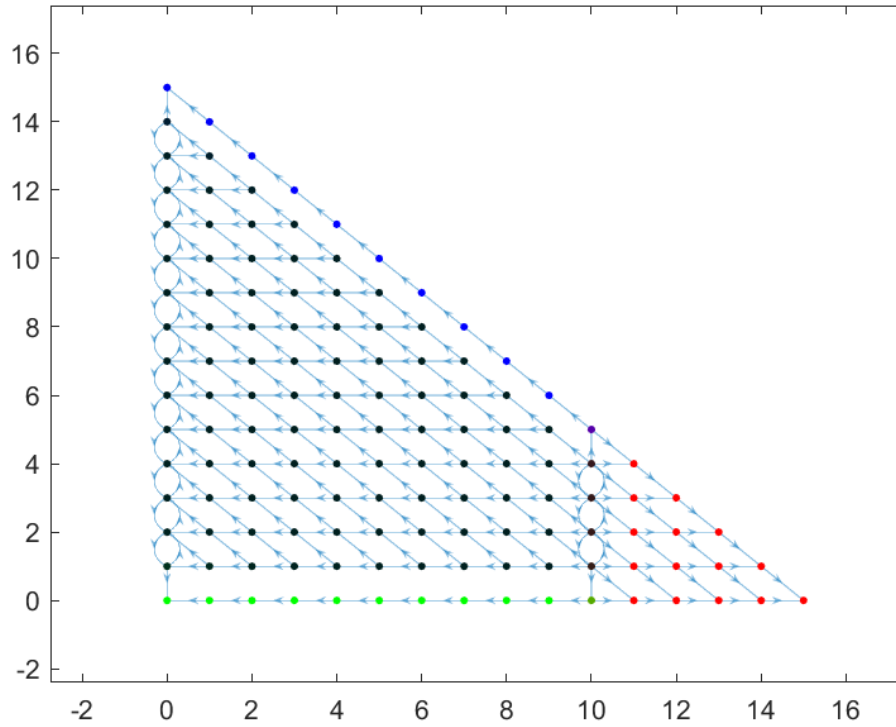


Figure 3.5: TourTheImi Ex2_2 TourTheImi_Ex2_2.m

Στο συγκεκριμένο παράδειγμα παρατηρούμε ότι στην περίπτωση που η στρατηγική Per_CD εκλείψει, οι στρατηγικές Tit_for_Tat και Gradual ταλαντεύονται στο ποιά θα υπερισχύσει. Επιπλέον στις καταστάσεις $[1, 10, 4]$, $[2, 10, 3]$, $[3, 10, 2]$ και $[4, 10, 1]$ βλέπουμε ότι από αυτές τις καταστάσεις μπορούμε να μετακινήθουμε προς πολλές κατευθύνσεις.

Επόμενο πείραμα: 3 Soft_Major, 2 Per_Nasty, 1 Per_kind

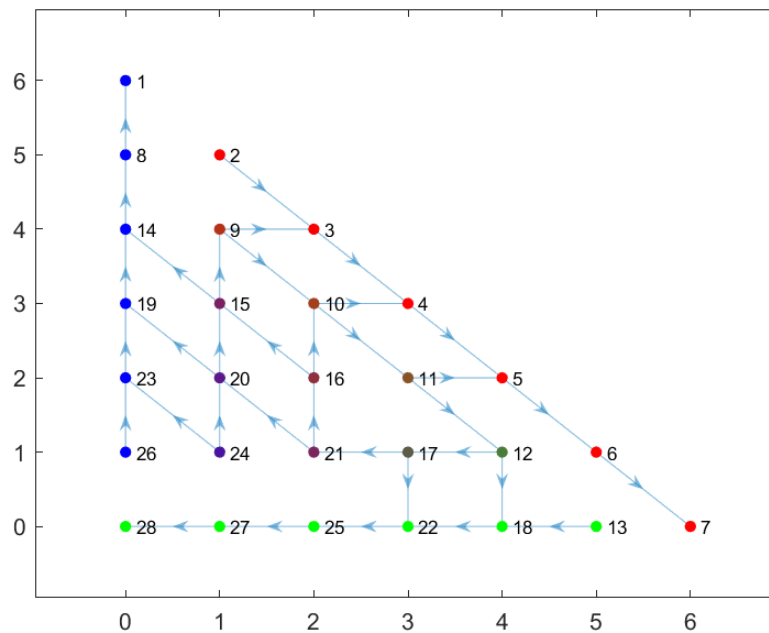


Figure 3.6: TourTheImi Ex3_2 TourTheImi_Ex3_2.m

Όπως και πριν, δεν παρατηρούμε κάτι ιδιαίτερο στο συγκεκριμένο πείραμα, ακόμα και με το TourTheImi2.

3.2 Προσομοίωση του Imitation Dynamics

Ο κώδικας για το Simulation του Imitation Dynamics βρίσκεται εδώ: `TourSimImi`

Η λογική είναι παρόμοια με την `TourTheImi`, με την διαφορά ότι αυτή τη φορά δεν χρειάζεται να υπολογίσουμε τον πίνακα μεταβάσεων: Επιλέγουμε τυχαία K παίκτες και επιλέγουμε τυχαία μια από τις βέλτιστες στρατηγικές για να αλλάξουμε τους K παίκτες.

Εκτελώντας τα αντίστοιχα πειράματα με τη θεωρητική υλοποίηση παρατηρούμε ότι στην περίπτωση του Imitation όπου η βέλτιστη στρατηγική βρίσκεται από το συνολικό σκορ όλων των παικτών η συμπεριφορά του συστήματος εμφανίζει τις παρακάτω ιδιομορφίες:

1. Στην περίπτωση που ένας πληθυσμός είναι αρχικά μεγαλύτερος από έναν άλλο, ο πληθυσμος τείνει να υπερισχύει έναντι των άλλων, όπως βλέπουμε στην 3η εικόνα που εκτελείται το χαοτικό πείραμα.
2. Στην περίπτωση που οι πληθυσμοί είναι ίδιοι, τείνει να υπερισχύει αυτός που σε σχέση με το Theoretical Fitness εμφανίζει την πιο πρώιμη αύξηση. Αυτό μπορεί να οδηγήσει τόσο σε ορθή κατάταξη, όπως στην 2η εικόνα στο πείραμα της μονότονης σύγκλισης, όσο και σε λανθασμένη, όπως στην πρώτη εικόνα με το πείραμα των ισχυρών αποστατών.

Στην περίπτωση του Imitation όπου η βέλτιστη στρατηγική βρίσκεται από το σκορ του καλύτερου παίκτη, τα αποτελέσματα παρουσιάζονται πιο χαοτικά και δεν υπάρχει απαραίτητα μονοτονία στις μεταβολές όπως παρατηρείται στην πρώτη περίπτωση.

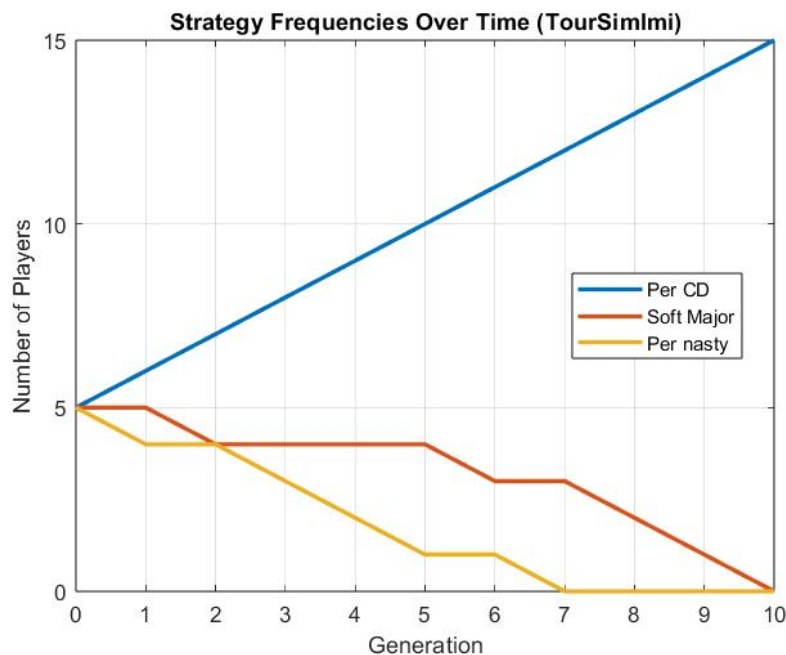


Figure 3.7: Convergence to the Final State `TourSimImi_Ex1.m`

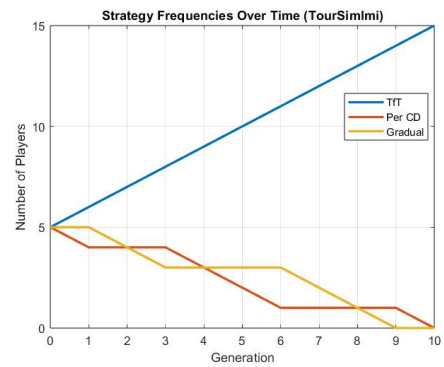
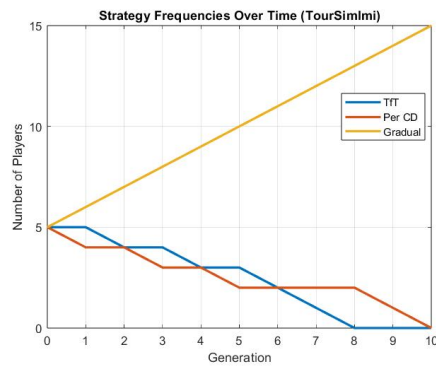


Figure 3.8: Convergence of the states to the two possible final states shown by Markov Chain TourSimImi_Ex2.m

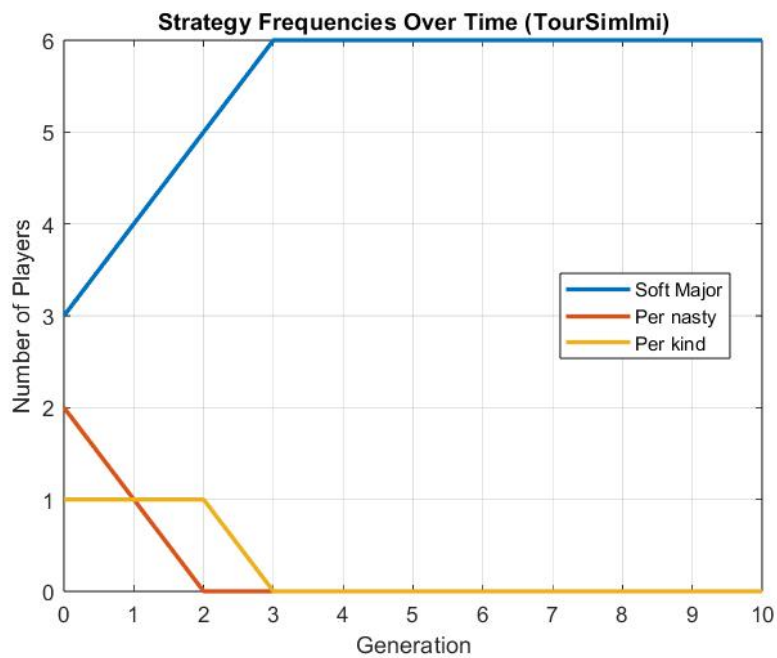


Figure 3.9: Convergence to the Final State (TourSimImi_Ex3.m)

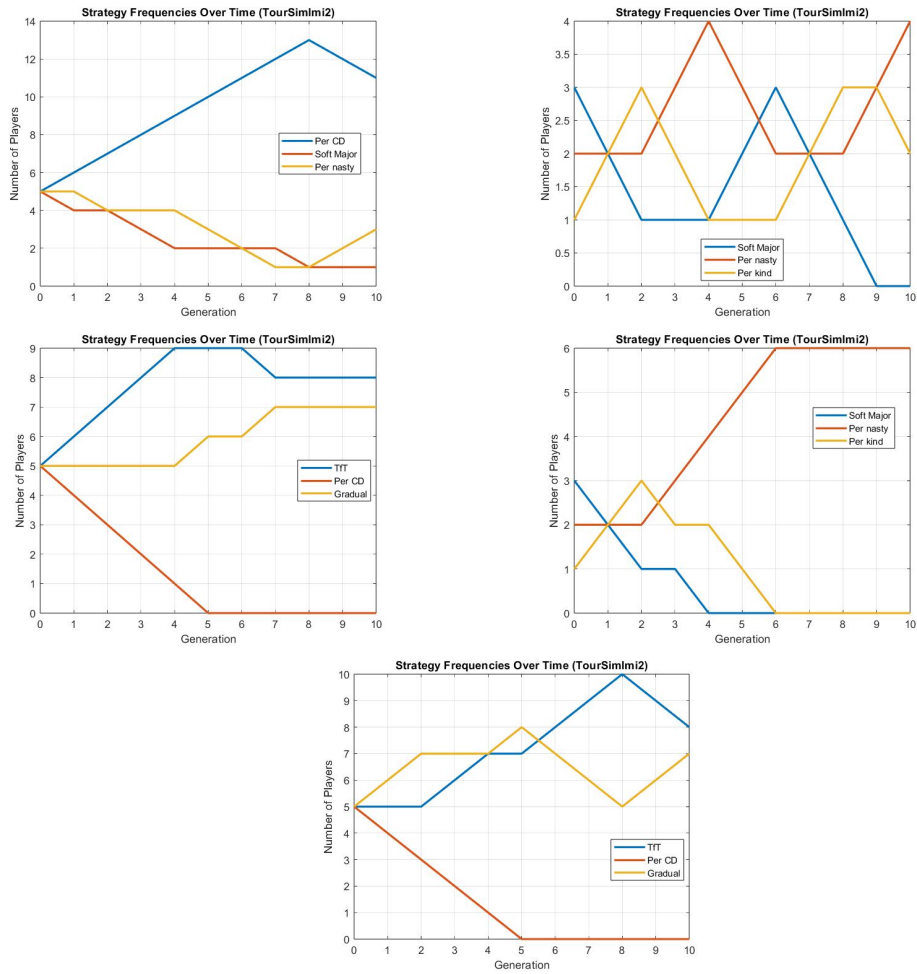


Figure 3.10: Increased Oscilations and random state transition using TourSimImi2
TourSimImi_Ex1_2.m, TourSimImi_Ex2_2.m, TourSimImi_Ex3_2.m

Κεφάλαιο 4

Discussion

Μέσα από την θεωρητική ανάλυση του Fitness Dynamics παρατηρούμε την ακριβή επαλήθευση των αποτελεσμάτων του paper καθώς και την επαλήθευσή τους σε πραγματικό χρόνο από την προσομοίωση.

Σε κάθε περίπτωση οι αρχικές συνθήκες παίζουν πολύ σημαντικό ρόλο και δόθηκε αρκετός χρόνος στην επίτευξη των ακριβών αποτελεσμάτων. Στη συνέχεια από το Imitation Dynamics παρατηρούμε την σύγκλιση των πληθυσμών προς σταθερές καταστάσεις μέσα από τις αλυσίδες Markov και πώς μερικές φορές από μια αρχική κατάσταση είμαστε βέβαιοι ότι στο τέλος θα οδηγηθούμε σε μια συγκεκριμένη τελική ενώ άλλες όχι. Τα βήματα προς την τελική κατάσταση από το Simulation των Imitation Dynamics εξαρτώνται και αυτά από διάφορους μηχανισμούς όπως την επιλογή βέλτιστης στρατηγικής και τον μηχανισμό επιλογής των παικτών προς αλλαγή. Σε αυτό το σημείο και καθώς δόθηκε αρκετή ελευθερία στην μοντελοποίηση του συστήματος τα αποτελέσματα μας ενδέχεται να διαφέρουν σε σχέση με τις υπόλοιπες ομάδες, ενώ καθώς ο τρόπος επιλογής παικτών προς αλλαγή περιλαμβάνει στοχαστικότητα τα figures που συμπεριλάβαμε ενδέχεται να μη παραχθούν ολόιδια με τα scripts ασχέτως αν ο μηχανισμός παραμένει κοινός.

Τέλος, η ανάλυση αυτή μπορεί να δώσει χρήσιμα συμπεράσματα τόσο για τα δυναμικά φαινόμενα στα εξελικτικά πρωταθλήματα ενώ σημαντικό ερευνητικό ενδιαφέρον θα παρουσίαζε η εφαρμογή της παραπάνω ανάλυσης και στα άλλα 2 διαφορετικά κοινωνικά διλήμματα τα οποία είναι οι Ιέρακες και Περιστερές και το Κυνήγι του Ελαφιού με αντίστοιχες προσαρμογές.

Appendices

Appx. A:

Απόδειξη μεταξύ s_states , r_states από κ . Κεχαγιά

The General Case $N \in \mathbb{N}$

As already mentioned, the process $(\mathbf{r}(t))_{t=0}^{\infty}$ is a MC. Let us now look at the $(s(t))_{t=0}^{\infty}$ process. We have

$$\forall t : \mathbf{s}(t) = F(\mathbf{r}(t)).$$

We note that the inverse F^{-1} is a set-valued function:

$$\forall \mathbf{s} : F^{-1}(\mathbf{s}) = \{\mathbf{r} : F(\mathbf{r}) = \mathbf{s}\}.$$

The following Definition 1 and Proposition 1 are from [1].

Definition 1

Suppose we are given: (a) a Markov chain $(\mathbf{x}(t))_{t=0}^{\infty}$ with state space $R = \{1, \dots, N\}$ and (b) a partition $\mathcal{S} = \{R_1, \dots, R_M\}$ of R . We construct a new stochastic process $(\mathbf{y}(t))_{x=0}^{\infty}$ with state space \mathcal{S} by setting

$$\forall t : \mathbf{y}(t) = R_m \text{ iff } \mathbf{x}(t) \in R_m.$$

We say that $(\mathbf{x}(t))_{t=0}^{\infty}$ is *lumpable with respect to* \mathcal{S} iff $(\mathbf{y}(t))_{t=0}^{\infty}$ is a MC with transition probabilities which do not depend on the initial probability $(\pi_{\mathbf{x}})_{\mathbf{x} \in R}$ (where $\pi_{\mathbf{x}} = \Pr(\mathbf{x}(0) = \mathbf{x})$).

Proposition 1

Given $(\mathbf{x}(t))_{t=0}^{\infty}$ and $(\mathbf{y}(t))_{t=0}^{\infty}$ as in Definition 3.2.1, $(\mathbf{x}(t))_{t=0}^{\infty}$ is lumpable with respect to $\{R_1, \dots, R_M\}$ iff

$$\forall \mathbf{y}, \hat{\mathbf{y}} \in \mathcal{S}, \forall \mathbf{x}, \hat{\mathbf{x}} \in F^{-1}(\mathbf{y}) : \Pr(\mathbf{x} \rightarrow \hat{\mathbf{y}}) = \Pr(\hat{\mathbf{x}} \rightarrow \hat{\mathbf{y}}).$$

Then it is also true that

$$\forall \mathbf{y}, \hat{\mathbf{y}} \in \mathcal{S}, \forall \mathbf{x} \in F^{-1}(\mathbf{y}) : \Pr(\mathbf{y} \rightarrow \hat{\mathbf{y}}) = \Pr(\mathbf{x} \rightarrow \hat{\mathbf{y}}).$$

Now, regarding our $(\mathbf{r}(t))_{t=0}^{\infty}$ and $(\mathbf{s}(t))_{t=0}^{\infty}$ processes, we have the following.
 $(\mathbf{r}(t))_{t=0}^{\infty}$ is lumpable with respect to \mathcal{S} .

Proof. Take any $\mathbf{s}, \hat{\mathbf{s}} \in \mathcal{S}$ and any $\mathbf{r} = (r_1, r_2, \dots, r_N)$, $\hat{\mathbf{r}} = (\hat{r}_1, \hat{r}_2, \dots, \hat{r}_N) \in F^{-1}(\mathbf{s})$. So we have $F(\mathbf{r}) = F(\hat{\mathbf{r}}) = \mathbf{s}$. This means that \mathbf{r} and $\hat{\mathbf{r}}$ contain the same number of 1's, 2's and 3's; in other words, $\hat{\mathbf{r}}$ is obtained by a permutation of the elements of \mathbf{r} :

$$(\hat{r}_1, \hat{r}_2, \dots, \hat{r}_N) = (r_{i_1}, r_{i_2}, \dots, r_{i_N})$$

where (i_1, \dots, i_N) is a permutation of $(1, 2, \dots, N)$. Now

$$\begin{aligned} \Pr(\mathbf{r} \rightarrow \mathbf{s}) &= \Pr((r_1, r_2, \dots, r_N) \rightarrow \mathbf{s}) \\ &= \sum_{(r'_1, r'_2, \dots, r'_N) \in F(\mathbf{s})} \Pr((r_1, r_2, \dots, r_N) \rightarrow (r'_1, r'_2, \dots, r'_N)) \\ &= \sum_{(r'_1, r'_2, \dots, r'_N) \in F(\mathbf{s})} \Pr((r_{i_1}, r_{i_2}, \dots, r_{i_N}) \rightarrow (r'_{i_1}, r'_{i_2}, \dots, r'_{i_N})) \\ &= \sum_{(r'_{i_1}, r'_{i_2}, \dots, r'_{i_N}) \in F(\mathbf{s})} \Pr((\hat{r}_1, \hat{r}_2, \dots, \hat{r}_N) \rightarrow (r'_{i_1}, r'_{i_2}, \dots, r'_{i_N})) \\ &= \Pr(\hat{\mathbf{r}} \rightarrow \hat{\mathbf{s}}). \end{aligned}$$

So the condition of Proposition 3.2.2 is satisfied and $(\mathbf{r}(t))_{t=0}^{\infty}$ is lumpable. ■

Appx. B:

Code

TourTheFit

```
1 function [POP,BST,FIT] = TourTheFit(B,Strategies,Pop0,T,J)
2 Re_matrix=Reward_str(B,Strategies,T);
3
4 l_str=length(Strategies);
5
6 P=sum(Pop0);
7
8 POP=zeros(J,l_str);
9 FIT=zeros(J-1,l_str);
10 BST=cell(J-1,1);
11
12 POP(1,:)=Pop0;
13
14
15
16 for i=1:J-1
17 FIT(i,:)=(Re_matrix*POP(i,:)'-diag(Re_matrix))';
18
19 t=FIT(i,:)*POP(i,:);
20
21 m=max(FIT(i,:));
22
23 temp= FIT(i,:)/m;
24
25 BST{i}=Strategies(temp);
26
27 POP(i+1,:)=POP(i,:).*(FIT(i,:)/(P/t));
28
29
30
31 end
32 end
33
```

Reward_str

```
1 function Matrix = Reward_str(B,Strategies,T)
2 l=length(Strategies);
3
4 Matrix=zeros(l);
5
6 for i=1:l
7 for j=i+1:l
8 memory_game=[]; %The memory for each game
9 for k=1:T
10 p1_move=move(memory_game,Strategies(i));
11 if isempty(memory_game)
12 p2_move=move(memory_game,Strategies(j));
13 else
14 memory_game2=memory_game(:,[2 1]); % change the perspective of the memory so the 2
    nd column is the opponent
15 p2_move=move(memory_game2,Strategies(j));
16 end
17
18 Matrix(i,j)=Matrix(i,j)+B(p1_move,p2_move);
19 if i ~= j
```

```

20 Matrix(j,i)=Matrix(j,i)+B(p2_move,p1_move);
21 end
22
23 memory_game=[memory_game;p1_move p2_move]; %#ok<AGROW> % put the new moves into
    memory
24
25
26 end
27
28 end
29
30 end
31 end
32

```

TourSimFit

```

1  function [POP,BST,FIT]=TourSimFit(B,Strategies,Pop0,T,J)
2  l_str=length(Strategies);
3
4  P=sum(Pop0);
5
6  POP=zeros(J,l_str);
7  FIT=zeros(J-1,l_str);
8  BST=cell(J-1,1);
9
10 POP(1,:)=Pop0;
11
12 for i=1:J
13 disp(i);
14 Scores=Axel2_improved(B,Strategies,POP(i,:),T);
15
16 %FIT(i,:)=Sum_scores(Scores,Strategies,POP(i,:));
17
18 FIT(i,:) = Axel2_improved(B,Strategies,POP(i,:),T);
19
20 m=max(FIT(i,:));
21
22 temp= FIT(i,')==m;
23
24 BST{i}=Strategies(temp);
25
26 prc=FIT(i,:)/sum(FIT(i,:));
27
28 POP(i+1,:)=P*prc;
29
30 alive_str=find(POP(i+1,:)>0);
31
32
33
34 POP(i+1,alive_str(1:end))=Close_int_v(POP(i+1,alive_str(1:end)));
35
36
37
38 end
39 end
40

```

Close_int_v

```
1 function y= Close_int_v(x)
2 fl_x=floor(x); % floor function of all the elements
3
4 fr_x=x-fl_x; % fractional part of all the elements
5
6 r=int64(sum(fr_x)); % the integernumber we need to put back into fl_x
7
8 [~,I]=sort(fr_x); %sorting the numbers based on their fractional part
9
10 fl_x(I(1:r))=fl_x(I(1:r))+1;
11
12 y=fl_x;
13
14
15 end
16
```

Axel2_improved

```
1 function Scores_per_Group= Axel2_improved(B,Strategies,Pop,T)
2 Re_matrix=Reward_str(B,Strategies,T);
3
4 Score_per_category=(Re_matrix*Pop'-diag(Re_matrix))';
5
6 Scores_per_Group=Score_per_category.*Pop;
7 End
8
9
10
```

TourTheImi

```
1 function P_table=TourTheImi(B,Strategies,PoP0,K,T)
2 combos=all_combinations_sum_m(length(Strategies),sum(PoP0)); %all combinations of
3 the population with the same Strategies
4 P_table=zeros(size(combos,1));
5 for i=1:size(combos,1)
6 Score_str=Axel2_improved(B,Strategies,combos(i,:),T);
7 [bstr, rest]= find_best_inf_str(Score_str,Strategies);
8 Popr=Assign_str(Strategies,combos(i,:));
9 idx_r= find(ismember(Popr,rest));
10
11 idx_bst=find(ismember(Popr,bstr));
12 if length(idx_r)<K
13 idx_r=[idx_r idx_bst];
14 end
15 comb_pick=nchoosek(idx_r,K);
16
17 poss_ch=combinations_with_replacement(length(bstr),K);
18 New_st=cell(size(comb_pick,1),size(poss_ch,1));
19
20 p=numel(New_st);
21
22 %
23 for j=1:size(comb_pick)
24 for k=1:size(poss_ch,1)
25 temp=Popr;
```

```

25
26 temp(comb_pick(j,:))=bstr(poss_ch(k,:));
27
28
29 New_st{j,k}=r2s_state(temp,Strategies);
30 check= sum(combos == New_st{j,k},2) == size(combos,2);
31 check=find(check);
32 P_table(i,check)=P_table(i,check)+1/p;
33 end
34
35 end
36
37 end
38
39 end

```

all_combinations_sum_m

```

1 function combos = all_combinations_sum_m(n, m)
2 % This function returns all combinations of non-negative integers
3 % of length n that sum to m
4 % Total number of places (m stars + n - 1 bars)
5 total = m + n - 1;
6 % Generate all combinations of n - 1 bar positions
7 bar_positions = nchoosek(1:total, n - 1);
8 num_combos = size(bar_positions, 1);
9 combos = zeros(num_combos, n);
10 for i = 1:num_combos
11 % The positions of bars split m stars into n parts
12 % Add 0 and total+1 to make it easier to compute differences
13 positions = [0, bar_positions(i,:), total + 1];
14 combos(i, :) = diff(positions) - 1;
15 end
16 end
17
18

```

find_best_inf_str

```

1
2 function [best_str,rest_str]=find_best_inf_str(Score_per_str,Strategies)
3 m=max(Score_per_str);
4 temp= Score_per_str==m;
5 temp2= ~temp;
6 best_str=Strategies(temp);
7 rest_str=Strategies(temp2);
8 end
9
10

```

Assign_str

```

1 function str_assign= Assign_str(Strategies,Pop)
2 sum_Pop=sum(Pop); %Find the size of the population
3 Pop2=[0 Pop];
4 Pop2=cumsum(Pop2); % The Pop2 helps by defining the limits between the population
5 % of one Strategy and another

```

```

5   str_assign=strings(1,sum_Pop); %Initialize the string array
6   for i=1:length(Strategies)
7       str_assign(Pop2(i)+1:Pop2(i+1))=Strategies(i); % since the populations and
      strategies are well organized we use Pop2 to assign the Strategies
8   end
9
10  end
11
12
13

```

TourTheImi2

```

1   function P_table=TourTheImi2(B,Strategies,PoP0,K,T)
2   combos=all_combinations_sum_m(length(Strategies),sum(PoP0));
3   P_table=zeros(size(combos,1));
4   for i=1:size(combos,1)
5       Score_str=Axel2_improved_2(B,Strategies,combos(i,:),T);
6       [bstr, rest]= find_best_inf_str(Score_str,Strategies);
7       Popr=Assign_str(Strategies,combos(i,:));
8       idx_r= find(ismember(Popr,rest));
9
10      idx_bst=find(ismember(Popr,bstr));
11      if length(idx_r)<K
12          idx_r=[idx_r idx_bst];
13      end
14      comb_pick=nchoosek(idx_r,K);
15
16      poss_ch=combinations_with_replacement(length(bstr),K);
17      New_st=cell(size(comb_pick,1),size(poss_ch,1));
18
19      p=numel(New_st);
20
21      %
22      for j=1:size(comb_pick)
23          for k=1:size(poss_ch,1)
24              temp=Popr;
25
26              temp(comb_pick(j,:))=bstr(poss_ch(k,:));
27
28
29              New_st{j,k}=r2s_state(temp,Strategies);
30              check= sum(combos == New_st{j,k},2) == size(combos,2);
31              check=find(check);
32              P_table(i,check)=P_table(i,check)+1/p;
33          end
34      end
35  end
36  end
37
38

```

Axel2_Improved_2

```

1   function Scores_per_Group= Axel2_improved_2(B,Strategies,Pop,T)
2   Re_matrix=Reward_str(B,Strategies,T);
3   Score_per_category=(Re_matrix*Pop'-diag(Re_matrix))';
4   Pop_check= Pop>0;
5   Scores_per_Group=Score_per_category.*Pop_check;
6   end

```

TourSimImi

```
1
2 function [POP, BST] = TourSimImi(B, Strategies, POP0, K, T, J)
3 % TourSimImi - K-player imitation simulation over J generations
4 % Inputs and outputs same as before
5 N = length(Strategies);
6 total_pop = sum(POP0);
7 POP = zeros(J+1, N);
8 POP(1, :) = POP0;
9 BST = zeros(J, 1); % Track best strategy index per generation
10 for gen = 1:J
11     current_counts = POP(gen, :);
12     current_pop = Assign_str(Strategies, current_counts); % Get full strategy list
13     % Compute scores for each strategy group
14     score_str = Axel2_improved(B, Strategies, current_counts, T);
15     % Identify best-performing strategies
16     [best_strats, rest_strats] = find_best_inf_str(score_str, Strategies);
17     best_idx = find(strcmp(Strategies, best_strats{1}));
18     a=randi(length(best_strats));
19     if (length(best_strats)) > 1
20         a=randi(length(best_strats));
21     BST(gen) = a;
22     else
23     BST(gen) = best_idx;
24     end
25     % Identify which individuals are using non-best strategies
26     rest_idx = find(ismember(current_pop, rest_strats));
27     % If not enough, allow some best to "reconsider"
28     if length(rest_idx) < K
29         bst_idx = find(ismember(current_pop, best_strats));
30         needed = K - length(rest_idx);
31         rest_idx = [rest_idx; bst_idx(randperm(length(bst_idx), needed))];
32     else
33         rest_idx = rest_idx(randperm(length(rest_idx), K));
34     end
35     % Choose new strategies for these K individuals
36     new_pop = current_pop;
37     for i = 1:K
38         % Randomly choose one of the best strategies to imitate
39
40         new_pop(rest_idx(i)) = best_strats(a);
41     end
42
43     POP(gen+1,:) = r2s_state(new_pop,Strategies);
44 end
45 end
46
47
```

References

1. J.G. Kemeny, J.L. Snell, Finite Markov Chains. Van Nostrand, 1976.
2. Mathieu, Philippe & Beaufils, Bruno & Jean-Paul, Delahaye. (1999). Studies on Dynamics in the Classical Iterated Prisoner's Dilemma with Few Strategies. 177-190. 10.1007/10721187_13.
3. Report x. Κεχαιά
4. Alexander, J. McKenzie. Evolutionary game theory. Cambridge University Press, 2023.
5. Axelrod, Robert, and William D. Hamilton. "The evolution of cooperation." Science, Vol. 211, No. 4489, pp. 1390-1396, 1981.
6. Axelrod, Robert, and Douglas Dion. "The further evolution of cooperation." Science, Vol. 242, No. 4884, pp. 1385-1390, 1988.
7. Mathieu, Philippe, Bruno Beaufils, and Jean-Paul Delahaye. "Studies on Dynamics in the Classical Iterated Prisoner's Dilemma with Few Strategies" European conference on artificial evolution. Springer: Berlin Heidelberg, 1999.